

**RESULTADOS****AVALIAÇÃO OBJECTIVA**

## ANÁLISE ESTATÍSTICA BÁSICA DAS PROPRIEDADES FÍSICO - MECÂNICAS

<b>Tabela AIII.1: Resultados das Propriedades de Corte e Flexão</b>						
		<b>CORTE</b>			<b>FLEXÃO</b>	
<b>COD.</b>	<b>Estatística</b>	<b>G</b>	<b>2HG</b>	<b>2HG(5)</b>	<b>B</b>	<b>2HB</b>
21	Média	0,497	0,324	0,900	0,043	0,014
	CV%	3,77	8,57	6,64	3,14	10,54
22	Média	0,5725	0,4160	1,0950	0,0426	0,0138
	CV%	2,027	9,237	4,479	3,150	7,406
31	Média	1,082	0,742	2,125	0,059	0,018
	CV %	2,11	3,80	2,25	2,04	6,68
32	Média	0,934	0,637	1,833	0,060	0,017
	CV %	3,38	4,71	3,92	4,66	8,38
33	Média	0,701	0,634	1,456	0,061	0,017
	CV %	1,64	6,56	2,71	1,64	9,48
34	Média	0,571	0,552	1,195	0,060	0,016
	CV %	8,75	7,59	4,90	3,87	8,31
35	Média	0,528	0,625	1,197	0,061	0,019
	CV %	2,15	3,66	2,46	1,74	6,96
36	Média	0,493	0,671	1,165	0,061	0,019
	CV %	1,74	6,78	1,75	4,35	13,41
41	Média	0,609	0,396	1,190	0,046	0,016
	CV%	2,48	7,33	3,38	4,47	11,01
42	Média	0,716	0,519	1,572	0,049	0,015
	CV%	1,39	7,98	2,77	1,45	6,17
51	Média	0,790	0,414	1,528	0,065	0,021
	CV%	2,18	5,24	2,84	1,95	18,57
52	Média	0,742	0,441	1,432	0,070	0,024
	CV%	2,83	3,98	3,12	5,78	10,29
53	Média	0,784	0,748	1,853	0,088	0,025
	CV%	3,67	5,17	3,55	1,40	4,64
54	Média	0,657	0,616	1,544	0,085	0,026
	CV%	2,87	4,20	3,50	4,31	17,95
55	Média	0,572	0,750	1,473	0,089	0,027
	CV%	2,54	6,88	2,26	1,40	3,43
56	Média	0,535	0,741	1,366	0,088	0,028
	CV%	1,49	4,88	2,05	2,75	9,45
61	Média	1,176	0,995	3,231	0,088	0,026
	CV%	4,58	3,94	3,98	4,78	6,31
62	Média	0,988	0,797	2,620	0,088	0,023
	CV%	3,16	5,89	3,11	2,62	10,31
63	Média	0,861	0,874	2,376	0,091	0,033
	CV%	1,89	3,93	1,95	2,14	5,26
64	Média	0,788	0,841	2,189	0,097	0,031
	CV%	3,48	4,63	3,05	4,28	9,42
65	Média	0,831	1,080	2,415	0,108	0,034
	CV%	2,97	4,37	2,80	1,23	2,86
66	Média	0,759	1,017	2,169	0,108	0,033
	CV%	2,06	4,28	3,15	2,92	4,93

<b>Tabela AIII.2: Resultados das Propriedades de Tracção e Superfície</b>								
		<b>TRACÇÃO</b>				<b>SUPERFÍCIE</b>		
<b>COD.</b>	<b>Estatística</b>	<b>LT</b>	<b>WT</b>	<b>RT</b>	<b>EMT</b>	<b>MIU</b>	<b>MMD</b>	<b>SMD</b>
21	Média	0,547	10,305	71,430	7,583	0,228	0,036	1,343
	CV%	2,76	4,93	3,77	4,13	3,00	5,44	14,00
22	Média	0,556	14,896	68,272	11,096	0,251	0,030	1,229
	CV%	2,63	6,01	3,77	4,58	4,32	9,73	13,88
31	Média	0,680	8,659	67,316	5,092	0,163	0,034	1,079
	CV %	3,10	4,20	4,58	1,97	5,78	21,62	22,89
32	Média	0,627	9,117	71,639	5,820	0,164	0,027	1,019
	CV %	1,72	2,40	1,61	2,16	6,65	18,74	16,91
33	Média	0,656	9,175	39,121	5,546	0,159	0,015	1,059
	CV %	2,56	5,83	4,55	4,41	8,32	14,47	15,50
34	Média	0,607	9,445	69,333	6,238	0,181	0,018	0,980
	CV %	2,82	4,25	1,42	4,51	7,64	13,95	14,95
35	Média	0,680	13,068	53,506	7,670	0,162	0,019	0,946
	CV %	5,32	9,03	8,35	4,00	7,97	12,81	12,87
36	Média	0,607	11,113	60,436	7,342	0,162	0,018	1,029
	CV %	2,50	2,99	1,49	4,62	5,52	10,90	15,26
41	Média	0,557	9,024	66,804	6,519	0,227	0,051	1,938
	CV%	7,79	8,66	7,31	5,30	5,32	7,86	17,70
42	Média	0,547	14,300	68,282	10,495	0,239	0,041	1,039
	CV%	2,93	4,08	2,31	3,81	3,08	8,18	9,27
51	Média	0,662	12,095	62,293	7,330	0,175	0,041	1,109
	CV%	4,11	6,12	5,68	2,98	9,19	16,84	12,49
52	Média	0,626	12,014	67,568	7,687	0,175	0,028	1,192
	CV%	2,16	3,23	2,02	4,00	6,80	13,40	17,43
53	Média	0,721	10,217	57,873	5,644	0,152	0,016	0,999
	CV%	7,17	13,48	12,20	6,99	7,28	10,41	14,79
54	Média	0,668	10,284	62,879	6,167	0,172	0,018	1,037
	CV%	2,50	6,99	4,79	5,22	5,85	11,19	13,89
55	Média	0,692	11,831	53,558	6,845	0,157	0,019	1,057
	CV%	3,37	6,14	4,92	6,44	7,69	11,66	16,81
56	Média	0,664	12,773	53,400	7,683	0,165	0,019	1,179
	CV%	4,30	4,78	4,98	4,32	5,81	9,74	15,62
61	Média	0,664	10,782	62,530	6,493	0,175	0,062	1,189
	CV%	3,37	5,70	6,01	3,08	7,73	9,99	15,25
62	Média	0,699	12,090	59,509	6,916	0,183	0,055	1,355
	CV%	3,06	6,96	5,16	4,78	6,36	14,63	12,60
63	Média	0,663	10,899	60,387	6,590	0,164	0,016	1,096
	CV%	2,22	3,35	1,88	5,12	6,99	11,35	15,18
64	Média	0,651	11,285	61,362	6,936	0,162	0,022	1,270
	CV%	2,04	2,68	2,94	2,37	4,62	10,13	14,72
65	Média	0,697	14,027	53,621	8,067	0,166	0,024	1,249
	CV%	2,52	4,85	3,45	3,79	7,65	10,75	10,99
66	Média	0,655	13,404	57,017	8,192	0,162	0,023	1,253
	CV%	3,32	4,20	3,91	3,38	7,64	9,24	12,34

<b>Tabela AIII.3: Resultados das Propriedades de Compressão e Massa Volúmica</b>								
<b>COD.</b>	<b>Estatística</b>	<b>Compressão</b>			<b>Espessura</b>		<b>COMPSSB</b>	<b>MVOL</b>
		<b>LC</b>	<b>WC</b>	<b>RC</b>	<b>TO</b>	<b>TM</b>		
21	Média	0,080	0,014	62,669	0,420	0,350	16,62	309,326
	CV%	7,51	6,68	9,88	2,14	1,23	8,39	2,13
22	Média	0,0784	0,0156	59,4965	0,451	0,367	18,79	306,225
	CV%	6,186	7,436	12,279	4,99	1,945	9,04	4,795
31	Média	0,298	0,062	78,733	0,393	0,305	22,42	352,527
	CV %	19,75	19,67	19,99	2,84	0,45	9,66	2,80
32	Média	0,294	0,058	84,403	0,413	0,312	24,58	361,837
	CV %	19,58	18,78	14,75	1,71	1,18	5,50	1,70
33	Média	0,310	0,074	76,499	0,467	0,357	23,60	336,888
	CV %	14,77	12,26	9,82	2,04	0,97	8,82	2,07
34	Média	0,271	0,073	82,634	0,476	0,359	24,64	326,630
	CV %	17,48	17,66	11,80	3,08	1,13	7,78	3,04
35	Média	0,381	0,106	67,998	0,559	0,434	22,36	302,154
	CV %	12,04	11,52	14,22	1,56	1,17	5,07	1,53
36	Média	0,326	0,099	74,915	0,574	0,433	24,48	297,112
	CV %	12,27	11,39	11,77	2,49	1,23	5,82	2,48
41	Média	0,075	0,013	68,083	0,401	0,340	15,30	346,655
	CV%	7,79	8,90	8,41	1,98	1,15	8,31	1,95
42	Média	0,078	0,011	62,020	0,413	0,362	12,36	382,640
	CV%	7,95	10,37	9,58	4,49	1,68	9,07	4,29
51	Média	0,357	0,069	70,648	0,421	0,319	24,35	382,304
	CV%	12,36	8,36	15,69	4,29	1,91	11,06	4,21
52	Média	0,302	0,073	73,973	0,433	0,334	22,82	358,95
	CV%	17,79	18,25	17,62	3,68	0,62	10,81	3,55
53	Média	0,292	0,082	62,353	0,506	0,391	22,65	332,571
	CV%	15,58	15,60	15,56	3,25	1,62	7,44	3,10
54	Média	0,300	0,082	74,636	0,509	0,390	23,34	334,746
	CV%	13,27	13,46	11,41	2,26	1,71	5,34	2,27
55	Média	0,347	0,098	71,376	0,602	0,482	19,88	298,938
	CV%	12,88	13,68	14,56	1,73	1,57	5,57	1,98
56	Média	0,363	0,106	64,214	0,607	0,476	21,70	298,257
	CV%	12,27	12,40	13,77	2,16	1,61	8,04	2,16
61	Média	0,301	0,076	61,994	0,551	0,438	20,46	346,25
	CV%	17,39	16,07	20,15	2,15	0,82	9,55	2,12
62	Média	0,254	0,072	72,033	0,577	0,440	23,79	343,20
	CV%	16,48	17,31	13,50	3,44	1,53	10,39	3,37
63	Média	0,266	0,100	70,512	0,612	0,467	23,74	339,84
	CV%	14,33	12,47	11,13	3,21	1,79	8,35	3,25
64	Média	0,260	0,094	72,771	0,639	0,476	25,50	334,910
	CV%	12,69	11,58	9,01	2,85	1,10	8,50	2,80
65	Média	0,277	0,106	67,627	0,743	0,581	21,79	304,379
	CV%	10,67	12,29	12,39	4,16	1,77	11,00	4,00
66	Média	0,299	0,118	66,359	0,733	0,575	21,66	303,930
	CV%	9,29	8,96	9,54	4,29	1,81	13,01	4,24

**COMPSSB – Compressibilidade (%)**  
**MVOL – Massa Volúmica (Kg/m³)**

## ANÁLISE ESTATÍSTICA BÁSICA DAS PROPRIEDADES TÉRMICAS E DE PERMEABILIDADE

<b>Tabela AIII.4: Resultados das Propriedades Térmicas</b>					
<b>COD.</b>	<b>Estatística</b>	<b>TERMO-LABO</b>			
		<b>qmax</b>	<b>K</b>	<b>CIT-S</b>	<b>CIT-H</b>
21	Média	0,181	0,617	27,927	26,535
	CV%	2,39	1,42	15,08	4,43
22	Média	0,1854	0,6288	23,375	27,645
	CV%	1,707	3,365	13,556	5,412
31	Média	0,169	0,581	17,699	25,882
	CV %	2,05	1,62	11,96	7,33
32	Média	0,171	0,597	18,676	26,298
	CV %	1,29	1,25	24,51	7,95
33	Média	0,170	0,606	13,606	24,598
	CV %	1,51	1,50	16,07	7,09
34	Média	0,168	0,652	15,653	26,097
	CV %	2,43	0,86	9,57	5,64
35	Média	0,136	0,618	16,994	26,455
	CV %	2,24	1,17	13,47	13,64
36	Média	0,150	0,624	17,130	27,029
	CV %	1,51	1,11	14,30	5,85
41	Média	0,194	0,670	23,064	26,158
	CV%	3,46	1,72	18,13	3,49
42	Média	0,210	0,683	22,754	27,794
	CV%	1,40	2,61	12,94	2,92
51	Média	0,189	0,627	11,973	25,858
	CV%	1,86	1,70	9,18	6,81
52	Média	0,164	0,640	16,152	27,874
	CV%	1,50	1,87	24,93	12,30
53	Média	0,159	0,638	18,425	24,810
	CV%	2,53	0,71	19,98	5,20
54	Média	0,150	0,538	14,391	27,549
	CV%	4,52	2,30	23,57	19,40
55	Média	0,148	0,586	19,356	25,621
	CV%	1,25	1,05	10,07	6,01
56	Média	0,149	0,501	17,810	25,047
	CV%	2,67	1,66	15,53	3,35
71	Média	0,165	0,655	11,987	27,701
	CV%	2,80	1,14	33,74	6,34
72	Média	0,164	0,652	13,325	26,495
	CV%	3,09	1,13	32,34	3,12
73	Média	0,156	0,687	20,757	25,141
	CV%	1,53	0,91	14,82	10,00
74	Média	0,165	0,671	14,235	25,965
	CV%	2,27	1,02	20,11	6,29
75	Média	0,129	0,625	15,704	28,282
	CV%	2,09	2,31	17,73	7,92
76	Média	0,146	0,636	19,965	28,193
	CV%	4,30	1,73	10,52	4,87

<b>Tabela AIII.5: Resultados das Propriedades de Permeabilidade</b>				
		<b>Permeabilidade ao Ar</b>	<b>Coef. Permeabilidade ao Vapor de Água</b>	<b>Índice de Molhagem</b>
<b>COD.</b>	<b>Estatística</b>	<b>PRBB-Ar</b>	<b>CP-Vágua</b>	<b>I-MOLHGM</b>
21	Média	194,500	102,272	229,255
	CV%	6,65	1,55	6,91
22	Média	105,2400	104,2637	117,5915
	CV%	6,780	2,128	5,835
31	Média	153,30	99,41	137,21
	CV %	4,92	2,23	13,44
32	Média	129,800	100,232	113,546
	CV %	5,08	3,34	7,05
33	Média	146,100	100,978	109,361
	CV %	3,79	1,72	7,94
34	Média	156,650	84,798	98,526
	CV %	4,47	15,78	10,20
35	Média	250,150	83,120	103,641
	CV %	2,47	20,83	7,84
36	Média	260,850	85,992	89,175
	CV %	3,73	18,17	3,89
41	Média	101,220	102,547	199,592
	CV%	6,58	1,63	6,91
42	Média	45,880	103,476	228,328
	CV%	2,81	1,64	6,71
51	Média	108,265	100,874	127,818
	CV%	6,89	3,46	8,78
52	Média	100,037	101,864	114,302
	CV%	3,96	2,31	7,54
53	Média	186,000	100,763	89,850
	CV%	3,79	2,32	9,27
54	Média	179,300	99,532	74,491
	CV%	4,94	1,63	3,66
55	Média	330,850	101,681	67,690
	CV%	2,73	2,91	7,53
56	Média	326,050	100,388	83,105
	CV%	2,69	2,69	7,19
71	Média	451,950	99,248	71,414
	CV%	7,25	2,44	7,61
72	Média	409,700	98,742	36,539
	CV%	5,44	0,79	8,66
73	Média	360,600	97,603	72,267
	CV%	5,14	1,03	7,32
74	Média	370,850	99,912	37,212
	CV%	4,91	0,91	8,50
75	Média	449,600	99,108	58,392
	CV%	3,29	2,13	6,33
76	Média	439,950	101,427	33,106
	CV%	2,58	1,61	5,71

## ANÁLISE MULTIVARIADA APLICADA AOS TECIDOS INICIAIS (COD: 30; 50; 60)

STAT. FACTOR ANALYSIS	Eigenvalues (tecidos iniciais.sta) Extraction: Principal components			
Value	Eigenval	% total Variance	Cumul. Eigenval	Cumul. %
1	12,589	39,342	12,589	39,342
2	7,457	23,303	20,046	62,645
3	3,058	9,555	23,104	72,200

Fig. AIII.1a: Resultado da Análise em Componentes Principais dos Tecidos Iniciais (COD: 30; 50; 60)

STAT. FACTOR ANALYSIS	Factor Loadings (Varimax normalized) (tecidos iniciais.sta) Extraction: Principal components (Marked loadings are > ,700000)		
	Factor 1	Factor 2	Factor 3
<b>G</b>	-0,1786	<b>0,8975</b>	0,1353
<b>2GH</b>	<b>0,7448</b>	0,4678	-0,1720
<b>2GH5</b>	0,3038	<b>0,8975</b>	0,1361
<b>B</b>	<b>0,8975</b>	0,4334	-0,0539
<b>2BH</b>	<b>0,8975</b>	0,3604	-0,0618
<b>EMT</b>	<b>0,8975</b>	-0,3249	0,4813
LT	0,3323	0,4045	-0,3740
<b>WT</b>	<b>0,7964</b>	-0,1823	0,3403
RT	-0,4269	0,1988	0,3516
<b>MIU</b>	-0,1994	0,1701	<b>0,8169</b>
MMD	-0,1044	0,6088	0,5917
SMD	0,5077	0,5643	0,4338
<b>LC</b>	-0,0163	-0,6341	-0,0685
<b>WC</b>	<b>0,8930</b>	-0,3530	-0,1691
RC	-0,6626	-0,1830	0,0531
<b>T</b>	<b>0,9771</b>	0,0172	-0,0187
<b>TM</b>	<b>0,9870</b>	0,0222	-0,0379
COMPSSB	-0,4562	-0,0852	0,2085
W	<b>0,9107</b>	0,3016	0,0685
MVOL	-0,6849	0,5965	0,2148
<b>DMfio/cm</b>	<b>-0,0785</b>	-0,8728	-0,3602
COEF-LIG	-0,5764	0,5296	0,4487
<b>MTfios (TEX)</b>	<b>0,7146</b>	0,6258	0,1626
<b>QMAX</b>	<b>-0,7771</b>	0,3548	0,1955
K	0,0644	0,3660	0,2583
CIT-S	0,2297	-0,1816	-0,6511
CIT-H	0,3668	0,0143	0,6527
<b>PRBB-ar</b>	<b>0,8626</b>	0,3371	0,0773
CP-Vagua	0,0660	0,6645	-0,1653
<b>I-MOLHGM</b>	<b>-0,8066</b>	-0,2953	-0,0950
imt	-0,0212	-0,1158	<b>-0,8446</b>
<b>lcl</b>	<b>0,9159</b>	-0,1783	-0,1296
Expl.Var	12,3856	6,5489	4,1695
Prp.Totl	0,3870	0,2047	0,1303

Fig. AIII.1b: Resultados da Análise Factorial após a Rotação Laiser's Varimax para os Tecidos Iniciais

## ANÁLISE MULTIVARIADA APLICADA AOS PRIMEIROS TECIDOS DE TAFETÁ

STAT. FACTOR ANALYSIS	Eigenvalues (tafetás iniciais.sta) Extraction: Principal components			
Value	Eigenval	% total Variance	Cumul. Eigenval	Cumul. %
1	18,274	58,947	18,274	58,95
2	6,804	21,948	25,077	80,90

Fig. AIII.2a: Resultado da Análise em Componentes Principais dos Tecidos de Tafetá Iniciais (COD: 30; 50; 60)

STAT. FACTOR ANALYSIS	Factor Loadings (Varimax normalized) (tafetás iniciais.sta) Extraction: Principal components (Marked loadings are > ,700000)	
	Factor 1	Factor 2
<b>G</b>	-0,1411	<b>0,9030</b>
<b>2GH</b>	0,0668	<b>0,9630</b>
<b>2GH5</b>	0,2979	<b>0,9075</b>
<b>B</b>	<b>0,8087</b>	0,5756
<b>2BH</b>	<b>0,9030</b>	0,2231
<b>EMT</b>	<b>0,8164</b>	-0,5069
<b>LT</b>	<b>-0,8152</b>	-0,2665
<b>WT</b>	<b>0,9135</b>	-0,3280
RT	0,2591	0,5580
<b>MIU</b>	<b>0,9362</b>	0,0919
MMD	0,6846	0,6245
<b>SMD</b>	<b>0,7726</b>	0,3887
LC	-0,6262	-0,6527
<b>WC</b>	<b>0,9404</b>	0,1267
<b>RC</b>	<b>-0,8356</b>	-0,2303
<b>T</b>	<b>0,7205</b>	0,6583
<b>TM</b>	<b>0,7135</b>	0,6867
COMPSSB	-0,2378	-0,5354
<b>W</b>	<b>0,8113</b>	0,5653
<b>MVOL</b>	<b>-0,0791</b>	<b>-0,9040</b>
<b>DMfio/cm</b>	<b>-0,9109</b>	-0,3885
<b>MTfios (TEX)</b>	<b>0,9155</b>	0,3992
<b>QMAX</b>	<b>0,9613</b>	0,1533
K	-0,0350	-0,6876
<b>CIT-S</b>	<b>-0,8835</b>	-0,0515
CIT-H	0,4912	0,1383
<b>PRBB-ar</b>	0,5343	<b>0,8309</b>
<b>CP-Vagua</b>	0,0113	<b>-0,8955</b>
<b>I-MOLHGM</b>	0,0175	<b>-0,7441</b>
<b>imt</b>	<b>-0,8697</b>	0,1916
<b>lcl</b>	0,5838	<b>0,7873</b>
Expl.Var	14,4790	10,5985
Prp.Totl	0,4671	0,3419

Fig. AIII.2b: Resultados da Análise Factorial após a Rotação Laiser's Varimax para os Tecidos de Tafetá Iniciais

## ANÁLISE MULTIVARIADA APLICADA AOS TECIDOS DE SARJA

STAT. FACTOR ANALYSIS	Eigenvalues (sarjas.sta) Extraction: Principal components			
Value	Eigenval	% total Variance	Cumul. Eigenval	Cumul. %
1	16,812	54,231	16,812	54,23
2	6,572	21,201	23,384	75,43

Fig. AIII.3a: Resultado da Análise em Componentes Principais dos Tecidos de Sarja (COD: 30; 50; 60)

STAT. FACTOR ANALYSIS	Factor Loadings (Varimax normalized) (sarjas.sta) Extraction: Principal components (Marked loadings are > ,700000)	
	Factor 1	Factor 2
<b>G</b>	0,6495	<b>0,7378</b>
<b>2GH</b>	<b>0,8277</b>	0,5144
<b>2GH5</b>	<b>0,8564</b>	0,4982
<b>B</b>	<b>0,8479</b>	0,3677
<b>2BH</b>	<b>0,9246</b>	0,3239
<b>EMT</b>	<b>0,8923</b>	-0,4274
LT	0,0452	0,6596
<b>WT</b>	<b>0,9708</b>	0,1429
RT	0,4032	-0,5348
<b>MIU</b>	-0,1086	<b>-0,8600</b>
MMD	0,6184	-0,5446
<b>SMD</b>	<b>0,8027</b>	-0,0745
<b>LC</b>	<b>-0,7640</b>	0,3413
<b>WC</b>	<b>0,9220</b>	0,3174
<b>RC</b>	-0,2847	<b>-0,8435</b>
<b>T</b>	<b>0,9862</b>	0,0844
<b>TM</b>	<b>0,9807</b>	0,1621
COMPSSB	0,5011	-0,6123
<b>W</b>	<b>0,9704</b>	0,1767
MVOL	0,4103	0,6329
<b>DMfio/cm</b>	<b>-0,9607</b>	-0,2018
<b>MTfios (TEX)</b>	<b>0,9599</b>	0,2650
QMAX	-0,3517	-0,2628
K	0,4957	0,0781
CIT-S	0,3003	0,5436
CIT-H	0,1835	-0,6334
<b>PRBB-ar</b>	<b>0,9630</b>	0,1088
CP-Vagua	0,2243	0,6229
<b>I-MOLHGM</b>	<b>-0,9417</b>	0,1414
imt	0,1932	<b>0,7727</b>
lcl	<b>0,7868</b>	0,0357
Expl.Var	15,9888	7,3305
Prp.Totl	0,51577	0,2365

Fig. AIII.3b: Resultados da Análise Factorial após a Rotação Laiser's Varimax para os Tecidos de Sarja



## ANÁLISE MULTIVARIADA APLICADA AOS TECIDOS DE DEBUXO DERIVADO DA SARJA DE 4

STAT. FACTOR ANALYSIS	Eigenvalues (DSarja4.sta) Extraction: Principal components			
Value	Eigenval	% total Variance	Cumul. Eigenval	Cumul %
1	18,607	60,022	18,607	60,02
2	5,197	16,765	23,804	76,79

Fig. AIII.4a: Resultado da Análise em Componentes Principais dos Tecidos Derivados de Sarja de 4 (COD: 30; 50; 60)

STAT. FACTOR ANALYSIS	Factor Loadings (Varimax normalized) (DSarja4.sta) Extraction: Principal components (Marked loadings are > ,700000)	
Variable	Factor 1	Factor 2
<b>G</b>	<b>0,9223</b>	0,3415
<b>2GH</b>	<b>0,9000</b>	0,4031
<b>2GH5</b>	<b>0,9064</b>	0,3912
<b>B</b>	0,6618	<b>0,7353</b>
<b>2BH</b>	0,6765	<b>0,7221</b>
<b>EMT</b>	<b>0,8239</b>	0,0161
LT	0,1333	0,6016
<b>WT</b>	<b>0,7160</b>	0,3494
RT	0,1113	-0,6300
MIU	0,5548	-0,1046
<b>MMD</b>	<b>0,9432</b>	0,3245
<b>SMD</b>	<b>0,7134</b>	0,5747
<b>LC</b>	<b>-0,8737</b>	-0,0660
WC	0,6447	0,2849
RC	-0,2672	-0,6168
<b>T</b>	<b>0,9091</b>	0,3978
<b>TM</b>	<b>0,8604</b>	0,4956
COMPSSB	0,0764	-0,6868
<b>W</b>	<b>0,9100</b>	0,4038
<b>MVOL</b>	<b>0,8310</b>	0,1410
<b>DMfio/cm</b>	-0,5366	<b>-0,7763</b>
<b>MTfios (TEX)</b>	<b>0,7624</b>	0,6351
QMAX	-0,5893	0,1096
K	0,5782	-0,5486
CIT-S	-0,1900	0,4759
<b>CIT-H</b>	<b>0,9282</b>	-0,2968
<b>PRBB-ar</b>	<b>0,8205</b>	0,5513
<b>CP-Vagua</b>	0,2557	<b>0,9174</b>
I-MOLHGM	<b>-0,8731</b>	-0,5259
<b>imt</b>	<b>-0,9359</b>	0,3443
<b>lcl</b>	0,4026	<b>0,8057</b>
Expl.Var	15,3436	8,4603
Prp.Totl	0,4950	0,2729

Fig. AIII.4b: Resultados da Análise Factorial após a Rotação Laiser's Varimax para os Tecidos Derivados de Sarja de 4

## ANÁLISE MULTIVARIADA APLICADA AOS TECIDOS FABRICADOS COM O FIO COD 30

STAT. FACTOR ANALYSIS	Eigenvalues (Fio30.sta) Extraction: Principal components			
Value	Eigenval	% total Variance	Cumul. Eigenval	Cumul. %
1	17,915	57,792	17,915	57,792
2	6,277	20,247	24,192	78,039

Fig. AIII.5a: Resultado da Análise em Componentes Principais de todas as Estruturas Fabricadas com o Fio COD 30

STAT. FACTOR ANALYSIS	Factor Loadings (Varimax normalized) (Fio30.sta) Extraction: Principal components (Marked loadings are > ,700000)	
Variable	Factor 1	Factor 2
<b>G</b>	<b>-0,7027</b>	<b>-0,7112</b>
<b>2GH</b>	-0,0037	<b>-0,8660</b>
<b>2GH5</b>	-0,6459	<b>-0,7630</b>
B	0,6357	0,3586
<b>2BH</b>	<b>0,8633</b>	-0,3958
<b>EMT</b>	<b>0,8978</b>	0,2808
LT	0,1880	<b>-0,7359</b>
<b>WT</b>	<b>0,9574</b>	0,0480
RT	-0,4048	-0,1042
MIU	-0,3566	0,6227
<b>MMD</b>	-0,4567	<b>-0,7994</b>
SMD	-0,5257	-0,4130
<b>LC</b>	<b>0,9088</b>	-0,2995
<b>WC</b>	<b>0,9782</b>	0,1969
<b>RC</b>	<b>-0,9189</b>	0,1920
T	<b>0,9076</b>	0,3843
<b>TM</b>	<b>0,9367</b>	0,3340
<b>COMPSSB</b>	-0,1129	<b>0,8009</b>
<b>W</b>	<b>0,8742</b>	0,4754
<b>MVOL</b>	<b>-0,8950</b>	-0,3686
<b>DMfio/cm</b>	<b>0,8982</b>	0,4022
<b>MTfios (TEX)</b>	0,5596	<b>0,7405</b>
<b>QMAX</b>	<b>-0,9727</b>	0,0568
<b>K</b>	0,2618	<b>0,9079</b>
CIT-S	-0,0025	-0,5524
CIT-H	0,4476	-0,0337
<b>PRBB-ar</b>	<b>0,9506</b>	0,0395
CP-Vagua	-0,6905	-0,4700
<b>I-MOLHGM</b>	-0,5280	<b>-0,7788</b>
imt	-0,3745	<b>-0,7199</b>
<b>lcl</b>	<b>0,9786</b>	<b>0,1637</b>
Expl.Var	15,5925	8,5996
Prp.Totl	0,5030	0,2774

Fig. AIII.5b: Resultados da Análise Factorial após a Rotação Laiser's Varimax para todas as Estruturas Fabricadas com o Fio COD 30

## ANÁLISE MULTIVARIADA APLICADA AOS TECIDOS FABRICADOS COM O FIO COD 50

STAT. FACTOR ANALYSIS	Eigenvalues (Fio50.sta) Extraction: Principal components			
Value	Eigenval	% total Variance	Cumul. Eigenval	Cumul. %
1	18,4391	59,4810	18,4391	59,4810
2	6,2586	20,1890	24,6977	79,6699

Fig. AIII.6a: Resultado da Análise em Componentes Principais de todas as Estruturas Fabricadas com o Fio COD 50

STAT. FACTOR ANALYSIS	Factor Loadings (Varimax normalized) (Fio50.sta) Extraction: Principal components (Marked loadings are > ,700000)	
Variable	Factor 1	Factor 2
<b>G</b>	<b>0,8815</b>	-0,4001
<b>2GH</b>	<b>-0,9006</b>	-0,4266
<b>2GH5</b>	0,2019	<b>-0,9534</b>
<b>B</b>	<b>-0,8934</b>	-0,4211
<b>2BH</b>	<b>-0,9500</b>	-0,0241
<b>EMT</b>	0,0656	<b>0,9688</b>
<b>LT</b>	-0,4084	<b>-0,8112</b>
<b>WT</b>	-0,1550	<b>0,8999</b>
<b>RT</b>	<b>0,8775</b>	0,0886
MIU	0,6487	0,6290
<b>MMD</b>	<b>0,7671</b>	0,4633
<b>SMD</b>	0,0951	<b>0,8945</b>
LC	-0,3246	0,6556
<b>WC</b>	<b>-0,9829</b>	0,1517
RC	0,4078	0,3673
<b>T</b>	<b>-0,9959</b>	0,0248
<b>TM</b>	<b>-0,9940</b>	0,0274
<b>COMPSSB</b>	<b>0,7720</b>	-0,0710
<b>W</b>	<b>-0,9926</b>	-0,0930
<b>MVOL</b>	<b>0,9914</b>	0,0471
<b>DMfio/cm</b>	<b>-0,9522</b>	-0,2507
<b>MTfios (TEX)</b>	<b>-0,8053</b>	-0,5122
<b>QMAX</b>	<b>0,8415</b>	0,1461
<b>K</b>	<b>0,6875</b>	-0,3129
<b>CIT-S</b>	<b>-0,7804</b>	-0,2490
CIT-H	0,4981	0,2794
<b>PRBB-ar</b>	<b>-0,9792</b>	0,0862
CP-Vagua	0,1164	0,2648
<b>I-MOLHGM</b>	<b>0,8511</b>	0,3005
<b>imt</b>	<b>-0,8186</b>	-0,3177
<b>lcl</b>	<b>-0,9436</b>	0,2023
Expl.Var	17,9446	6,7531
Prp.Totl	0,57886	0,2178

Fig. AIII.6b: Resultados da Análise Factorial após a Rotação Laiser's Varimax para todas as Estruturas Fabricadas com o Fio COD 50

## ANÁLISE MULTIVARIADA APLICADA AOS TECIDOS FABRICADOS COM O FIO COD 60

STAT. FACTOR ANALYSIS	Eigenvalues (Fio60.sta) Extraction: Principal components			
Value	Eigenval	% total Variance	Cumul. Eigenval	Cumul. %
1	15,7568	50,8284	15,7568	50,8284
2	8,0673	26,0236	23,8241	76,8521

Fig. AIII.7a: Resultado da Análise em Componentes Principais de todas as Estruturas Fabricadas com o Fio COD 60

STAT. FACTOR ANALYSIS Variable	Factor Loadings (Varimax normalized) (Fio60.sta) Extraction: Principal components (Marked loadings are > ,700000)	
	Factor 1	Factor 2
<b>G</b>	<b>-0,8467</b>	0,4421
2GH	0,5670	0,6721
<b>2GH5</b>	<b>-0,7538</b>	0,5289
<b>B</b>	<b>0,9537</b>	0,2602
<b>2BH</b>	<b>0,9046</b>	-0,2610
<b>EMT</b>	<b>0,8703</b>	0,4090
LT	-0,1075	0,3897
<b>WT</b>	<b>0,7629</b>	0,4873
<b>RT</b>	<b>-0,7875</b>	-0,3589
<b>MIU</b>	<b>-0,7600</b>	0,3938
<b>MMD</b>	<b>-0,8000</b>	0,5820
SMD	-0,0624	0,3519
LC	0,1870	0,6428
<b>WC</b>	<b>0,9620</b>	-0,1017
<b>RC</b>	0,0444	<b>-0,7439</b>
<b>T</b>	<b>0,9783</b>	0,1622
<b>TM</b>	<b>0,9527</b>	0,3005
<b>COMPSSB</b>	-0,0503	<b>-0,8101</b>
<b>W</b>	<b>0,9965</b>	-0,0290
<b>MVOL</b>	<b>-0,9364</b>	-0,3378
<b>DMfio/cm</b>	<b>0,9674</b>	0,0272
<b>MTfios (TEX)</b>	<b>0,8337</b>	-0,5051
<b>QMAX</b>	<b>-0,8264</b>	-0,3501
<b>K</b>	-0,4601	<b>-0,8415</b>
CIT-S	0,6505	-0,4378
<b>CIT-H</b>	0,3786	<b>0,9179</b>
<b>PRBB-ar</b>	0,1336	<b>0,9875</b>
CP-Vagua	0,4629	0,3934
I-MOLHGM	-0,2604	0,0009
<b>imt</b>	0,1906	<b>-0,8386</b>
<b>lcl</b>	<b>0,9109</b>	0,3938
Expl.Var	15,4844	8,3397
Prp.Totl	0,4995	0,2690

Fig. AIII.7b: Resultados da Análise Factorial após a Rotação Laiser's Varimax para todas as Estruturas Fabricadas com o Fio COD 60

## ANÁLISE MULTIVARIADA APLICADA A TODOS OS TECIDOS DE TAFETÁ SÓ PARA AS PROPRIEDADES SELECIONADAS

STAT. FACTOR ANALYSIS	Eigenvalues (tafetás todos.sta) Extraction: Principal components			
Value	Eigenval	% total Variance	Cumul. Eigenval	Cumul. %
1	14,848	59,392	14,848	59,39
2	4,309	17,236	19,157	76,63

Fig. AIII.8a: Resultado da Análise em Componentes Principais de todos os Tecidos de Tafetá (COD: 20; 30; 40; 50; 60)

STAT. FACTOR ANALYSIS	Factor Loadings (Varimax normalized) (tafetás todos.sta) Extraction: Principal components (Marked loadings are > ,700000)	
	Factor 1	Factor 2
<b>G</b>	<b>0,7810</b>	-0,5933
<b>2GH</b>	<b>0,7874</b>	-0,3156
<b>2GH5</b>	<b>0,8663</b>	-0,3140
<b>B</b>	<b>0,9204</b>	-0,3545
<b>2BH</b>	<b>0,8316</b>	-0,3647
<b>EMT</b>	-0,1556	<b>0,7371</b>
LT	0,6728	-0,6753
WT	0,1590	0,6046
<b>MIU</b>	-0,4022	<b>0,9028</b>
SMD	-0,1224	0,2783
WC	0,6605	-0,6881
RC	-0,1028	-0,6037
<b>T</b>	<b>0,9488</b>	0,2120
<b>TM</b>	<b>0,8411</b>	0,4843
<b>W</b>	<b>0,9337</b>	0,0679
MVOL	0,0562	-0,4815
<b>DMfio/cm</b>	<b>-0,8123</b>	0,3651
<b>MTfios (TEX)</b>	<b>0,9107</b>	-0,1985
<b>QMAX</b>	-0,5501	<b>0,7115</b>
<b>CIT-S</b>	<b>-0,7495</b>	0,5142
<b>PRBB-ar</b>	<b>0,8796</b>	-0,0099
CP-Vagua	-0,6364	0,6892
<b>I-MOLHGM</b>	<b>-0,7999</b>	0,3052
<b>imt</b>	<b>-0,7186</b>	0,4028
<b>lcl</b>	<b>0,9435</b>	-0,0842
Expl.Var	12,5600	6,5969
Prp.Totl	0,5024	0,2639

Fig. AIII.8b: Resultados da Análise Factorial após a Rotação Laiser's Varimax para todos os Tecidos de Tafetá

**AVALIAÇÃO SUBJECTIVA**

Tabela AIII.6: Geração de Atributos			
Absorvente	Deslizante	Liso	
Aconchegante ao corpo	Duas faces	Macio	
Agradável	Duro	Maleável	
Agradável em todas as épocas	Elástico	Maneável	
Aplasticado	Encorilhável	Não é nada familiar ao corpo	
Arranha	Enerespado	Não tecido	
Arrepiante	Engrunha	Ouro	
Artificial	Enruga	Papel	
Aspecto Aveludado	Enrugado	Pegajoso	
Aspecto de blusas de senhora	Enrugoso	Permeável	
Aspecto de fazenda	Escorregadio	Pesado	
Aspecto de ferro de vestuário	Espesso	Pica	
Aspecto de sacos de compras	Esponjoso	Plástico	
Aspecto poroso	Estático	Quente	
Áspero	Estético	Regular	
Atractivo	Faz barulho	Resiliente	
Aveludado	Faz nos sentir bem no frio	Resistente	
Bom Cair	Fino	Revestimento exterior	
Bom p\ épocas Quentes	Firme	Rígido	
Bom para o Tempo Ameno	Flexível	Rijo	
Bom Toque	Fofa	Rugoso	
Borracha	Ganha Borboto	Sarja	
Colante	Grosso	Secco	
Com elasticidade	Hirto	Seda	
Gomichão	Impermeável	Sedoso	
Confortável	Impróprio para Vestuário	Solto	
Convidativo a comprar	Indeformável	Suave	
Dá gosto tocar	Irregular	Teso	
Delicado	Irritante	Tipo laneiro	
Desagradável	Lã	Toque fresco	
Desealde	Leve	Toque Frio	
Desconfortável	Limpo	Volumoso	
Não pertinente	Material	Hedónio	Não táctil
Atributos sensoriais designadO por apenas um sujeito			

Tabela AIII.7 Atributos Sensoriais de <i>Toque</i>		
Atributos	F	%
Macio	242	14,96
Toque quente	226	13,97
Áspero	218	13,47
Fino	117	7,23
Leve	114	7,05
Toque frio	97	6,00
Toque fresco	92	5,69
Pica	55	3,40
Grosso	41	2,53
Suave	39	2,41
Maleável	32	1,98
Liso	30	1,85
Teso	29	1,79
Resistente	26	1,61
Rugoso	21	1,30
Duro	20	1,24
Irritante	18	1,11
Sedoso	18	1,11
Elástico	18	1,11
Escorregadio	17	1,05
Impermeável	15	0,93
Aveludado	13	0,80
Pesado	12	0,74
Fofa	11	0,68
Volumoso	9	0,56
Arrepiante	8	0,49
Absorvente	8	0,49
Enruga	8	0,49
Rijo	7	0,43
Rígido	7	0,43
Resiliente	7	0,43
Deslizante	6	0,37
Hirto	5	0,31
Enrugado	5	0,31
Espesso	5	0,31
Regular	4	0,25
Arranha	3	0,19
Encorrihável	3	0,19
Flexível	3	0,19
Irregular	3	0,19
Engrunha	2	0,12
Limpo	2	0,12
Bom Cair	2	0,12
<b>Soma</b>	<b>1618</b>	<b>100,000</b>

Tafetá	COD VS (%)	21 13.94	22 12.93	31 11.31	32 8.08	41 14.75	42 12.73	51 10.10	52 9.90	61 2.42	62 3.84
Sarja 3	COD VS (%)	33 24.34	34 23.81	53 17.99	54 16.93	63 5.29	64 11.64				
D Sarja 4	COD VS (%)	35 21.16	36 23.28	55 17.99	56 17.46	65 10.05	66 10.05				
Fio 30	COD VS (%)	31 21.43	32 16.67	33 21.43	34 19.05	35 11.90	36 9.52				
Fio 50	COD VS (%)	51 26.98	52 23.02	53 15.87	54 11.11	55 9.52	56 13.49				
Fio 60	COD VS (%)	61 16.67	62 19.84	63 18.25	64 20.63	65 11.11	66 13.49				

COD		PMV (22°C)	PMV (26°C)	PMV (26°C)
Tafetas	41	-1.42	0.12	0.84
	42	-1.38	0.15	0.86
	21	-1.30	0.15	0.86
	51	-1.27	0.16	0.87
	52	-1.27	0.05	0.80
	22	-1.26	0.07	0.81
	31	-1.26	0.14	0.86
	32	-1.25	0.14	0.86
	61	-0.98	0.32	0.99
	62	-0.95	0.34	1.00
Sarja 3	33	-1.13	0.23	0.92
	34	-1.18	0.20	0.90
	53	-1.08	0.26	0.95
	54	-0.86	0.39	1.04
	63	-0.94	0.35	1.00
	64	-0.87	0.39	1.04
Dsarja 4	35	-0.86	0.39	1.04
	36	-0.89	0.38	1.03
	55	-0.68	0.51	1.12
	56	-0.43	0.67	1.23
	65	-0.49	0.63	1.21
	66	-0.54	0.60	1.18



## CORRELAÇÃO ENTRE AS PROPRIEDADES OBJECTIVAS E AS SUBJECTIVAS

Correlations (Tafetas.sta)				
Marked correlations are significant at $p < ,05000$				
N=10 (Casewise)				
Variáveis	Voto Sensorial (%)	PMV a 22°C	PMV a 26°C	PMV a 28°C
G	<b>-0,8124</b> p=,004	<b>0,6977</b> p=,025	<b>0,6975</b> p=,025	<b>0,6976</b> p=,025
2GH	<b>-0,8523</b> p=,002	<b>0,8018</b> p=,005	<b>0,8019</b> p=,005	<b>0,8019</b> p=,005
2GH5	<b>-0,9092</b> p=,000	<b>0,8425</b> p=,002	<b>0,8427</b> p=,002	<b>0,8426</b> p=,002
B	<b>-0,947</b> p=,000	<b>0,8736</b> p=,001	<b>0,8737</b> p=,001	<b>0,8736</b> p=,001
2BH	<b>-0,8316</b> p=,003	<b>0,7341</b> p=,016	<b>0,7342</b> p=,016	<b>0,7342</b> p=,016
EMT	0,359 p=,308	-0,2634 p=,462	-0,2633 p=,462	-0,2633 p=,462
WT	0,047 p=,897	0,0316 p=,931	0,0316 p=,931	0,0316 p=,931
MIU	<b>0,6371</b> p=,048	-0,4683 p=,172	-0,4678 p=,173	-0,4679 p=,173
RC	-0,1938 p=,592	0,0253 p=,945	0,0248 p=,946	0,0248 p=,946
T0	<b>-0,8395</b> p=,002	<b>0,9343</b> p=,000	<b>0,9343</b> p=,000	<b>0,9343</b> p=,000
TM	<b>-0,6564</b> p=,039	<b>0,7753</b> p=,008	<b>0,776</b> p=,008	<b>0,7759</b> p=,008
W	<b>-0,8428</b> p=,002	<b>0,7887</b> p=,007	<b>0,7893</b> p=,007	<b>0,7892</b> p=,007
DMfio/cm	<b>0,7893</b> p=,007	<b>-0,6904</b> p=,027	<b>-0,6904</b> p=,027	<b>-0,6904</b> p=,027
MTfio (tex)	<b>-0,8620</b> p=,001	<b>0,8179</b> p=,004	<b>0,8185</b> p=,004	<b>0,8184</b> p=,004
CIT Seco	<b>0,8038</b> p=,005	<b>-0,6693</b> p=,034	<b>-0,6691</b> p=,034	<b>-0,6691</b> p=,034
PRBB ar	<b>-0,8373</b> p=,003	<b>0,9294</b> p=,000	<b>0,9297</b> p=,000	<b>0,9297</b> p=,000
I_MOLHGM	<b>0,8455</b> p=,002	<b>-0,8492</b> p=,002	<b>-0,8489</b> p=,002	<b>-0,849</b> p=,002
imt	<b>0,7568</b> p=,011	-0,6259 p=,053	-0,6256 p=,053	-0,6256 p=,053
Iclo	<b>-0,9334</b> p=,000	<b>0,9999</b> p=,000	<b>0,9999</b> p=,000	<b>0,9999</b> p=,000
Voto Sensorial	<b>1,000</b> p=,000	<b>-0,9337</b> p=,000	<b>-0,9337</b> p=,000	<b>-0,9337</b> p=,000
Parâmetros da Correlação de Pearson para N=10 e $p=0,05$ a $r=0,631897$				

Fig. AIII.9: Correlação entre as Propriedades Objectivas e as Subjectivas para os Tafetás

Correlations (Sarja3.sta)				
Marked correlations are significant at $p < ,05000$				
N=6 (Casewise)				
Variáveis	Voto Sensorial (%)	PMV a 22°C	PMV a 26°C	PMV a 28°C
G	<b>-0,8170</b> p=,052	0,4589 p=,360	0,4583 p=,361	0,4583 p=,361
2GH	<b>-0,8845</b> p=,019	0,5491 p=,259	0,5486 p=,260	0,5487 p=,260
2GH5	<b>-0,9336</b> p=,006	0,6334 p=,177	0,6330 p=,177	0,6330 p=,177
B	<b>-0,8408</b> p=,036	<b>0,8284</b> p=,042	<b>0,8281</b> p=,042	<b>0,8281</b> p=,042
2BH	<b>-0,9655</b> p=,002	<b>0,8351</b> p=,039	<b>0,8347</b> p=,039	<b>0,8348</b> p=,039
EMT	-0,6976 p=,123	0,6461 p=,166	0,6463 p=,166	0,6462 p=,166
WT	<b>-0,8989</b> p=,015	<b>0,8369</b> p=,038	<b>0,8367</b> p=,038	<b>0,8368</b> p=,038
MIU	0,2103 p=,689	-0,0812 p=,878	-0,0806 p=,879	-0,0807 p=,879
SMD	-0,5575 p=,250	0,6405 p=,171	0,6405 p=,171	0,6405 p=,171
WC	0,5979 p=,210	-0,2702 p=,605	-0,2703 p=,604	-0,2703 p=,604
LC	<b>-0,9894</b> p=,000	0,7204 p=,106	0,72 p=,107	0,7201 p=,107
RC	0,4533 p=,367	-0,283 p=,587	-0,2824 p=,588	-0,2825 p=,588
T0	<b>-0,9013</b> p=,014	0,7274 p=,101	0,7272 p=,101	0,7272 p=,101
TM	<b>-0,9329</b> p=,007	0,7414 p=,092	0,7412 p=,092	0,7412 p=,092
W	<b>-0,9431</b> p=,005	0,7231 p=,104	0,7228 p=,105	0,7229 p=,105
DMfio/cm	<b>0,9314</b> p=,007	<b>-0,8633</b> p=,027	<b>-0,8631</b> p=,027	<b>-0,8631</b> p=,027
MTfio (tex)	<b>-0,9589</b> p=,003	0,8078 p=,052	0,8075 p=,052	0,8075 p=,052
PRBB ar	<b>-0,9072</b> p=,013	0,6598 p=,154	0,6595 p=,154	0,6596 p=,154
I_MOLHGM	0,7255 p=,103	<b>-0,8464</b> p=,034	<b>-0,8464</b> p=,034	<b>-0,8464</b> p=,034
imt	-0,5001 p=,312	-0,1558 p=,768	-0,1565 p=,767	-0,1564 p=,767
Iclo	-0,734 p=,097	<b>1,000</b> p=,000	<b>1,000</b> p=,000	<b>1,000</b> p=,000
Voto Sensorial	<b>1,000</b> p=,000	-0,7383, p=,0938	-0,7383, p=,0938	-0,7383, p=,0938
Parâmetros da Correlação de Pearson para N=6 e $p=0,05$ a $r=0,811401$				

Fig. AIII.10: Correlação entre as Propriedades Objectivas e as Subjectivas para as Sarjas 3

Correlations (DSarja4.sta)				
Marked correlations are significant at $p < ,05000$				
N=6 (Casewise)				
Variáveis	Voto Sensorial (%)	PMV a 22°C	PMV a 26°C	PMV a 28°C
G	<b>-0,9529</b> p=,003	0,6037 p=,204	0,6031 p=,205	0,6032 p=,205
2GH	<b>-0,9642</b> p=,002	0,6863 p=,132	0,6858 p=,133	0,6858 p=,133
2GH5	<b>-0,9658</b> p=,002	0,6532 p=,160	0,6526 p=,160	0,6527 p=,160
B	<b>-0,9598</b> p=,002	<b>0,8582</b> p=,029	<b>0,8575</b> p=,029	<b>0,8576</b> p=,029
2BH	<b>-0,962</b> p=,002	<b>0,8701</b> p=,024	<b>0,8695</b> p=,024	<b>0,8695</b> p=,024
EMT	-0,6834 p=,134	0,4808 p=,334	0,4812 p=,334	0,4812 p=,334
WT	-0,7911 p=,061	0,613 p=,196	0,6129 p=,196	0,6129 p=,196
MMD	<b>-0,962</b> p=,002	0,6208 p=,188	0,6202 p=,189	0,6203 p=,189
SMD	<b>-0,8972</b> p=,015	<b>0,8863</b> p=,019	<b>0,8861</b> p=,019	<b>0,8862</b> p=,019
LC	0,7433 p=,090	-0,4027 p=,429	-0,4022 p=,429	-0,4023 p=,429
T0	<b>-0,9671</b> p=,002	0,6862 p=,132	0,6857 p=,133	0,6857 p=,133
TM	<b>-0,9887</b> p=,000	0,7243 p=,104	0,7237 p=,104	0,7237 p=,104
W	-0,7817 p=,066	0,3354 p=,516	0,3349 p=,516	0,3349 p=,516
MVOL	<b>-0,9779</b> p=,001	0,6771 p=,140	0,6765 p=,140	0,6766 p=,140
DMfio/cm	<b>0,876</b> p=,022	<b>-0,8597</b> p=,028	<b>-0,859</b> p=,028	<b>-0,8591</b> p=,028
MTfio (tex)	<b>-0,9861</b> p=,000	<b>0,815</b> p=,048	<b>0,8144</b> p=,048	<b>0,8144</b> p=,048
CIT_H	-0,5992 p=,209	0,0541 p=,919	0,0538 p=,919	0,0538 p=,919
PRBB ar	<b>-0,9852</b> p=,000	0,7681 p=,074	0,7675 p=,075	0,7676 p=,075
CP_VAGUA	-0,727 p=,102	<b>0,8538</b> p=,031	<b>0,853</b> p=,031	<b>0,8531</b> p=,031
I_MOLHGM	<b>0,8731</b> p=,023	-0,6023 p=,206	-0,6013 p=,207	-0,6015 p=,207
imt	0,5734 p=,234	-0,096 p=,856	-0,0961 p=,856	-0,0961 p=,856
lclo	-0,7702 p=,073	<b>0,9998</b> p=,000	<b>0,9999</b> p=,000	<b>0,9999</b> p=,000
Voto Sensorial	<b>1,000</b> p=,000	-0,7769 p = 0,007	-0,7769 p = 0,007	-0,7769 p = 0,007
Parâmetros da Correlação de Pearson para N=6 e p=0,05 a <b>r=0,811401</b>				

Fig. AIII.11: Correlação entre as Propriedades Objectivas e as Subjectivas para os Derivados da Sarja 4

Correlations (Fio30.sta)				
Marked correlations are significant at $p < ,05000$				
N=6 (Casewise)				
Variáveis	Voto Sensrl (%)	PMV a 22°C	PMV a 26°C	PMV a 28°C
G	0,5848 p=,223	-0,8111 p=,050	-0,8107 p=,050	-0,8107 p=,050
2GH	-0,0637 p=,905	-0,1111 p=,834	-0,1105 p=,835	-0,1106 p=,835
2GH5	0,5261 p=,284	-0,7598 p=,080	-0,7593 p=,080	-0,7594 p=,080
2BH	<b>-0,8187</b> p=,046	0,8057 p=,053	0,8062 p=,053	0,8061 p=,053
EMT	<b>-0,8546</b> p=,030	<b>0,9342</b> p=,006	<b>0,9343</b> p=,006	<b>0,9343</b> p=,006
LT	0,1375 p=,795	-0,0113 p=,983	-0,011 p=,983	-0,0111 p=,983
WT	-0,7984 p=,057	<b>0,9256</b> p=,008	<b>0,9258</b> p=,008	<b>0,9257</b> p=,008
MMD	0,3595 p=,484	-0,583 p=,225	-0,5823 p=,225	-0,5824 p=,225
LC	-0,7399 p=,093	<b>0,8185</b> p=,046	<b>0,8188</b> p=,046	<b>0,8187</b> p=,046
WC	-0,8029 p=,054	<b>0,9895</b> p=,000	<b>0,9895</b> p=,000	<b>0,9895</b> p=,000
RC	0,6231 p=,186	<b>-0,8387</b> p=,037	<b>-0,8388</b> p=,037	<b>-0,8388</b> p=,037
T0	<b>-0,8254</b> p=,043	<b>0,9728</b> p=,001	<b>0,9727</b> p=,001	<b>0,9727</b> p=,001
TM	<b>-0,8155</b> p=,048	<b>0,9844</b> p=,000	<b>0,9843</b> p=,000	<b>0,9843</b> p=,000
COMPSSB	-0,2034 p=,699	0,0973 p=,855	0,0968 p=,855	0,0968 p=,855
W	-0,7615 p=,079	<b>0,9456</b> p=,004	<b>0,9453</b> p=,004	<b>0,9454</b> p=,004
MVOL	0,7259 p=,102	<b>-0,9458</b> p=,004	<b>-0,9457</b> p=,004	<b>-0,9457</b> p=,004
DMfio/cm	-0,6788 p=,138	<b>0,9317</b> p=,007	<b>0,9314</b> p=,007	<b>0,9315</b> p=,007
Coef, Ligação	0,4584 p=,361	-0,7715 p=,072	-0,7709 p=,073	-0,771 p=,073
qmax	0,7999 p=,056	<b>-0,9269</b> p=,008	<b>-0,9271</b> p=,008	<b>-0,9271</b> p=,008
K	-0,148 p=,780	0,3945 p=,439	0,3941 p=,440	0,3941 p=,439
PRBB ar	<b>-0,8621</b> p=,027	<b>0,9586</b> p=,003	<b>0,9588</b> p=,003	<b>0,9588</b> p=,003
I_MOLHGM	0,6159 p=,193	-0,6863 p=,132	-0,6859 p=,132	-0,686 p=,132
imt	0,0938 p=,860	-0,4707 p=,346	-0,4707 p=,347	-0,4707 p=,347
Iclo	<b>-0,879</b> p=,021	<b>0,9999</b> p=,000	<b>1,000</b> p=,000	<b>1,000</b> p=,000
Voto Sensorial	<b>1,000</b> p=,000	<b>-0,8766</b> p=0,022	<b>-0,8766</b> p=0,022	<b>-0,8766</b> p=0,022
Parâmetros da Correlação de Pearson para N=6 e $p=0,05$ a $r=0,811401$				

Fig. All.12: Correlação entre as Propriedades Objectivas e as Subjectivas para as Diferentes Estruturas Fabricadas com o Fio 30

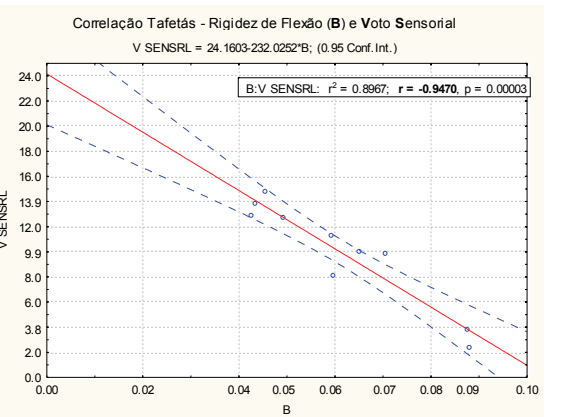
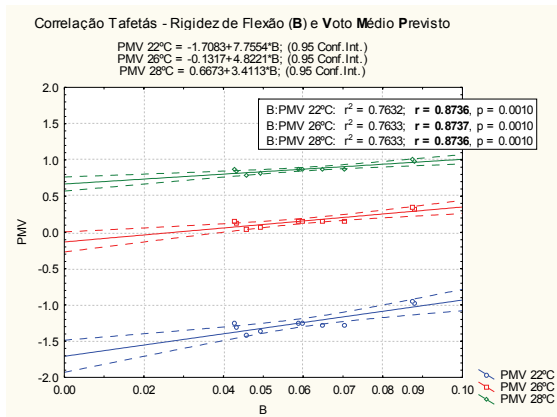
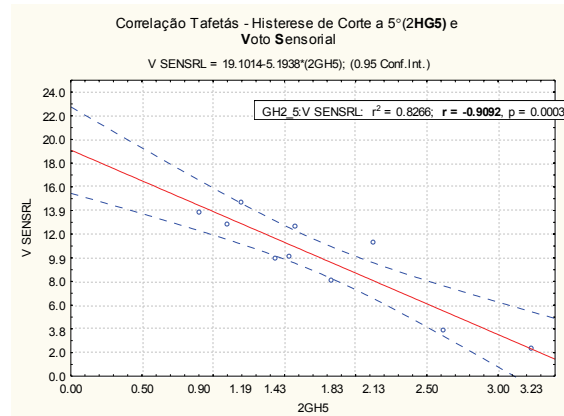
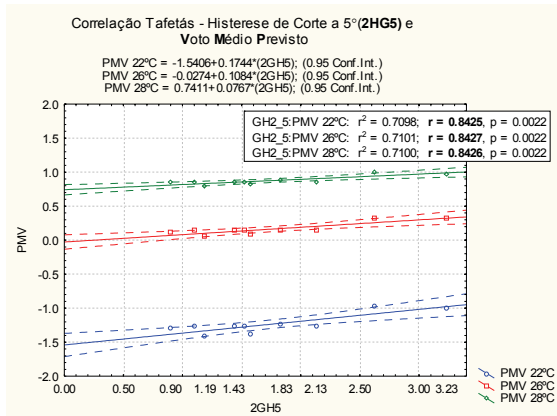
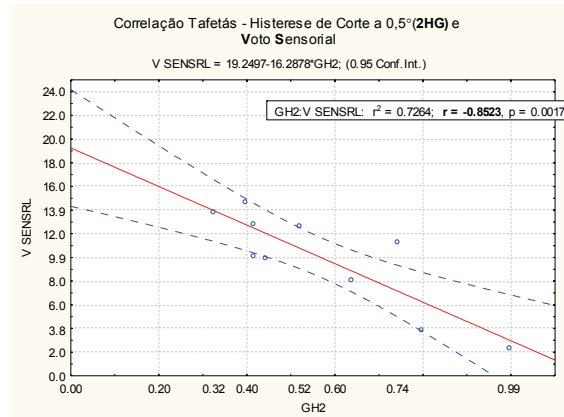
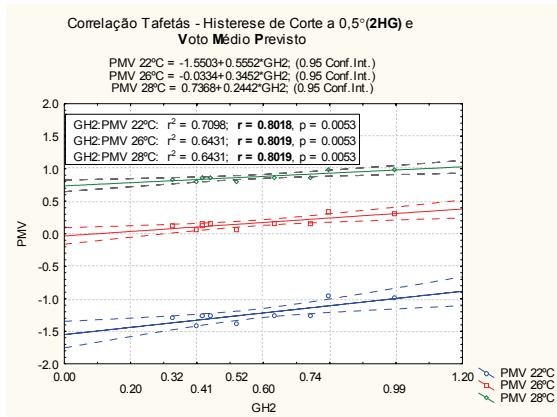
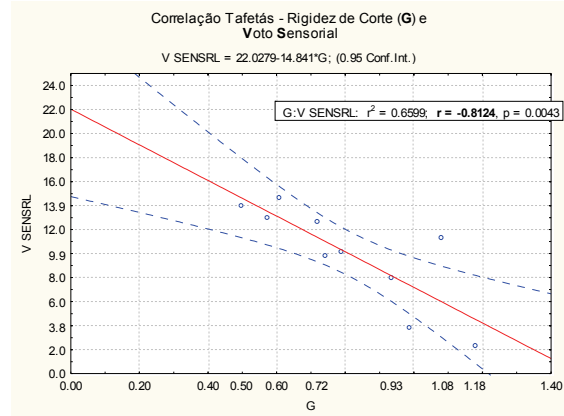
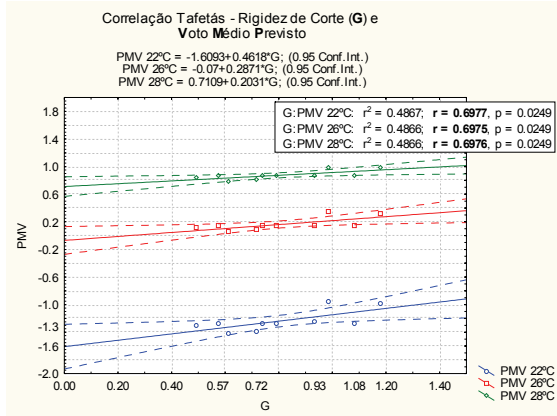
Correlations (Fio50.sta)				
Marked correlations are significant at $p < ,05000$				
N=6 (Casewise)				
Variáveis	Voto Sensrl (%)	PMV a 22°C	PMV a 26°C	PMV a 28°C
G	0,7402 p=,092	<b>-0,9444</b> p=,005	<b>-0,9445</b> p=,005	<b>-0,9445</b> p=,005
2GH	<b>-0,8594</b> p=,028	0,7768 p=,069	0,7756 p=,070	0,7757 p=,070
2GH5	-0,009 p=,987	-0,3759 p=,463	-0,3776 p=,461	-0,3774 p=,461
B	<b>-0,9336</b> p=,006	0,7916 p=,061	0,7902 p=,061	0,7904 p=,061
2BH	<b>-0,9044</b> p=,013	<b>0,8921</b> p=,017	<b>0,8914</b> p=,017	<b>0,8915</b> p=,017
EMT	0,4265 p=,399	0,0676 p=,899	0,0703 p=,895	0,0699 p=,895
LT	-0,4754 p=,341	0,2336 p=,656	0,2317 p=,659	0,232 p=,658
WT	0,2977 p=,567	0,252 p=,630	0,2547 p=,626	0,2544 p=,627
RT	0,6367 p=,174	<b>-0,814</b> p=,049	<b>-0,8139</b> p=,049	<b>-0,8139</b> p=,049
MMD	<b>0,8910</b> p=,017	-0,6459 p=,166	-0,6443 p=,167	-0,6445 p=,167
SMD	0,4310 p=,394	0,0339 p=,949	0,0367 p=,945	0,0364 p=,945
WC	-0,7614 p=,079	<b>0,9689</b> p=,001	<b>0,969</b> p=,001	<b>0,969</b> p=,001
T0	<b>-0,8522</b> p=,031	<b>0,9583</b> p=,003	<b>0,9579</b> p=,003	<b>0,958</b> p=,003
TM	<b>-0,8508</b> p=,032	<b>0,9404</b> p=,005	<b>0,94</b> p=,005	<b>0,94</b> p=,005
COMPSSB	0,6183 p=,191	-0,5884 p=,219	-0,5879 p=,220	-0,5879 p=,220
W	<b>-0,9022</b> p=,014	<b>0,9419</b> p=,005	<b>0,9411</b> p=,005	<b>0,9412</b> p=,005
MVOL	<b>0,8898</b> p=,018	<b>-0,9196</b> p=,009	<b>-0,919</b> p=,010	<b>-0,9191</b> p=,010
DMfio/cm	<b>-0,8736</b> p=,023	<b>0,8918</b> p=,017	<b>0,8909</b> p=,017	<b>0,891</b> p=,017
Coef, Ligação	<b>-0,9241</b> p=,008	0,7453 p=,089	0,7435 p=,090	0,7437 p=,090
qmax	<b>0,9301</b> p=,007	-0,7766 p=,069	-0,7754 p=,070	-0,7755 p=,070
K	0,6270 p=,183	<b>-0,8753</b> p=,022	<b>-0,8755</b> p=,022	<b>-0,8755</b> p=,022
CIT-S	-0,6591 p=,154	0,5568 p=,251	0,5561 p=,252	0,5562 p=,252
PRBB ar	-0,7916 p=,061	<b>0,9394</b> p=,005	<b>0,9391</b> p=,005	<b>0,9392</b> p=,005
I_MOLHGM	<b>0,9996</b> p=,000	-0,7862 p=,064	-0,7843 p=,065	-0,7846 p=,065
imt	-0,6740 p=,142	0,6154 p=,193	0,6149 p=,194	0,6149 p=,194
Iclo	-0,7752 p=,070	<b>0,9993</b> p=,000	<b>0,9994</b> p=,000	<b>0,9994</b> p=,000
Voto Sensorial	<b>1,000</b> p=,000	-0,7967 p=0,058	-0,7967 p=0,058	-0,7967 p=0,058
Parâmetros da Correlação de Pearson para N=6 e $p=0,05$ a <b><math>r=0,811401</math></b>				

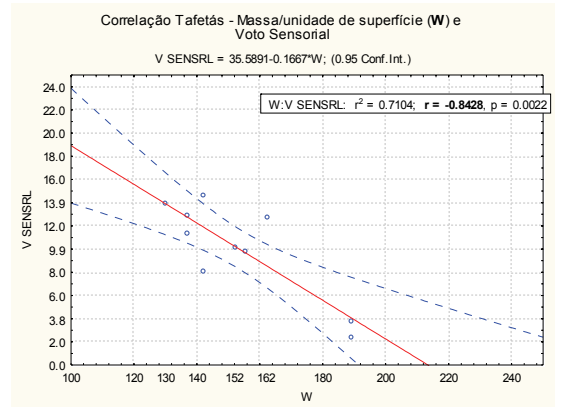
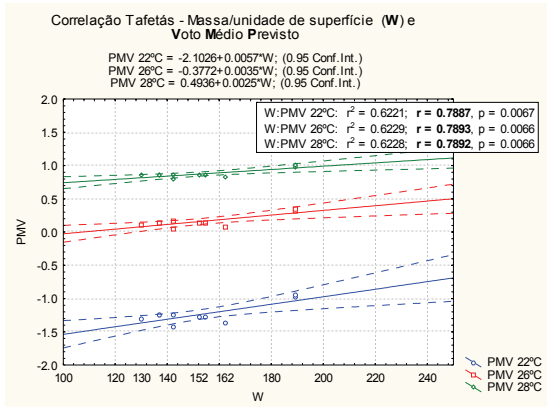
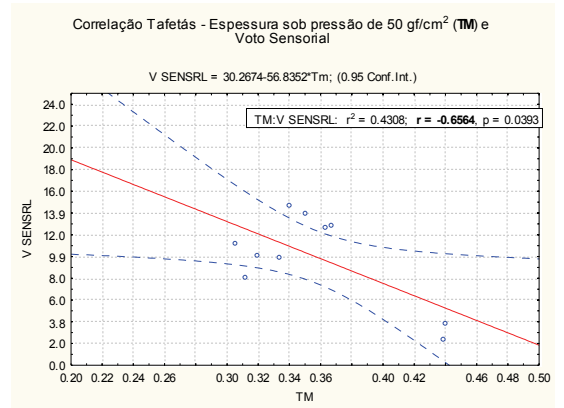
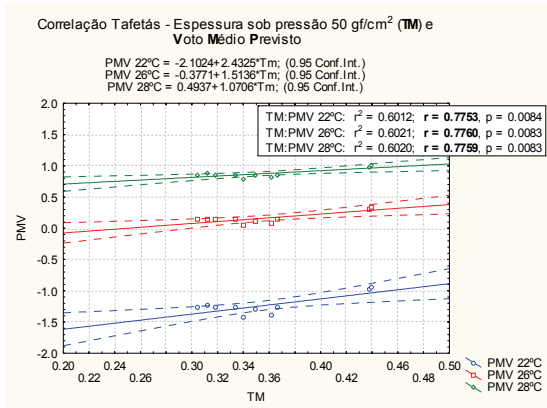
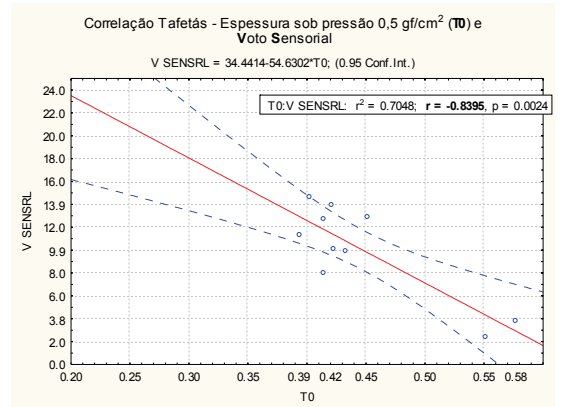
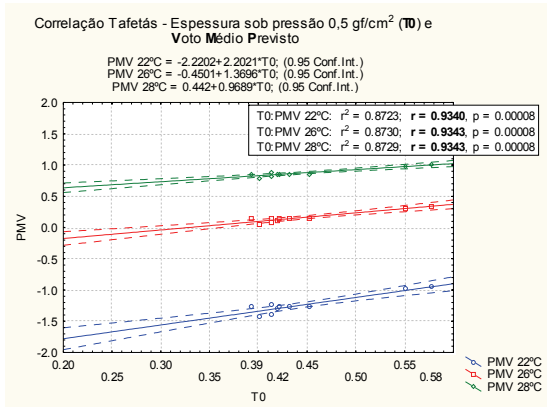
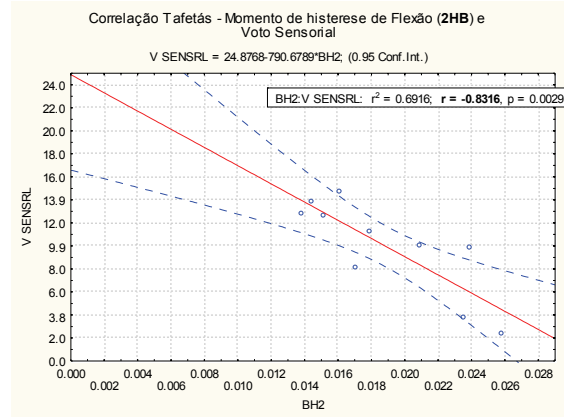
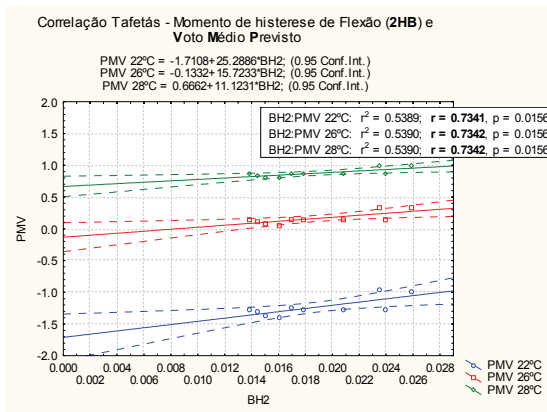
Fig. All.13: Correlação entre as Propriedades Objectivas e as Subjectivas para as Diferentes Estruturas Fabricadas com o Fio 50

Correlations (Fio60.sta)				
Marked correlations are significant at $p < ,05000$				
N=6 (Casewise)				
Variáveis	Voto Sensorial (%)	PMV a 22°C	PMV a 26°C	PMV a 28°C
G	0,2073 p=,694	-0,6251 p=,184	-0,6244 p=,185	-0,6245 p=,185
2GH5	0,0645 p=,903	-0,5133 p=,298	-0,5126 p=,298	-0,5127 p=,298
B	-0,7740 p=,071	0,7016 p=,120	0,7013 p=,121	0,7013 p=,120
2BH	-0,5430 p=,266	<b>0,9759</b> p=,001	<b>0,9757</b> p=,001	<b>0,9757</b> p=,001
EMT	-0,7874 p=,063	<b>0,9761</b> p=,001	<b>0,9762</b> p=,001	<b>0,9762</b> p=,001
WT	-0,7905 p=,061	<b>0,9334</b> p=,007	<b>0,9336</b> p=,006	<b>0,9335</b> p=,006
RT	<b>0,8143</b> p=,049	<b>-0,9089</b> p=,012	<b>-0,9091</b> p=,012	<b>-0,9091</b> p=,012
MIU	0,2843 p=,585	-0,4929 p=,321	-0,4923 p=,321	-0,4923 p=,321
MMD	0,2250 p=,668	-0,4988 p=,314	-0,4982 p=,315	-0,4983 p=,314
WC	-0,6260 p=,184	0,8103 p=,051	0,8103 p=,051	0,8103 p=,051
RC	0,5690 p=,239	-0,1694 p=,748	-0,1701 p=,747	-0,1701 p=,747
T0	-0,7528 p=,084	<b>0,9722</b> p=,001	<b>0,9720</b> p=,001	<b>0,9720</b> p=,001
TM	<b>-0,8473</b> p=,033	<b>0,9919</b> p=,000	<b>0,9918</b> p=,000	<b>0,9918</b> p=,000
COMPSSB	0,7004 p=,121	-0,3041 p=,558	-0,3048 p=,557	-0,3047 p=,557
W	-0,6857 p=,133	<b>0,8946</b> p=,016	<b>0,8943</b> p=,016	<b>0,8944</b> p=,016
MVOL	<b>0,8357</b> p=,038	<b>-0,9951</b> p=,000	<b>-0,9951</b> p=,000	<b>-0,9951</b> p=,000
D fio/cm	-0,7568 p=,082	<b>0,8778</b> p=,021	<b>0,8778</b> p=,021	<b>0,8779</b> p=,021
Coef, Ligação	-0,2795 p=,592	0,5543 p=,254	0,5537 p=,254	0,5538 p=,254
qmax	<b>0,9096</b> p=,012	<b>-0,9126</b> p=,011	<b>-0,9129</b> p=,011	<b>-0,9129</b> p=,011
K	0,7948 p=,059	-0,7794 p=,068	-0,7794 p=,068	-0,7794 p=,068
CIT-H	<b>-0,8146</b> p=,048	0,6932 p=,127	0,6937 p=,126	0,6936 p=,126
PRBB ar	-0,7333 p=,097	0,4945 p=,319	0,4951 p=,318	0,495 p=,318
imt	0,2427 p=,643	-0,1649 p=,755	-0,1652 p=,754	-0,1652 p=,754
Iclo	<b>-0,8649</b> p=,026	<b>0,9999</b> p=,000	<b>0,9999</b> p=,000	<b>0,9999</b> p=,000
Voto Sensorial	<b>1,000</b> p=,000	<b>-0,8598</b> p=0,028	<b>-0,8598</b> p=0,028	<b>-0,8598</b> p=0,028
Parâmetros da Correlação de Pearson para N=6 e $p=0,05$ a $r=0,811401$				

Fig. All.14: Correlação entre as Propriedades Objectivas e as Subjectivas para as Diferentes Estruturas Fabricadas com o Fio 60

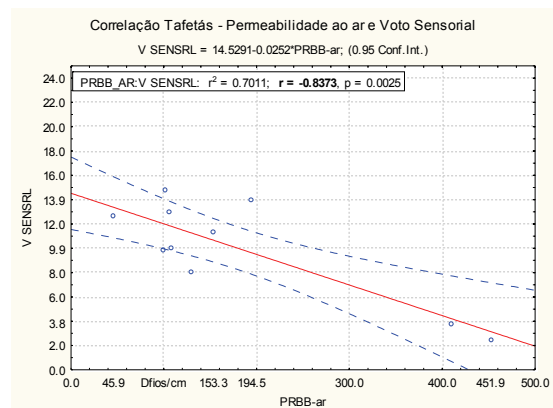
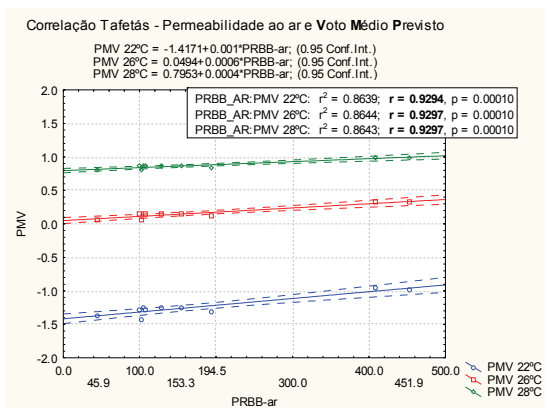
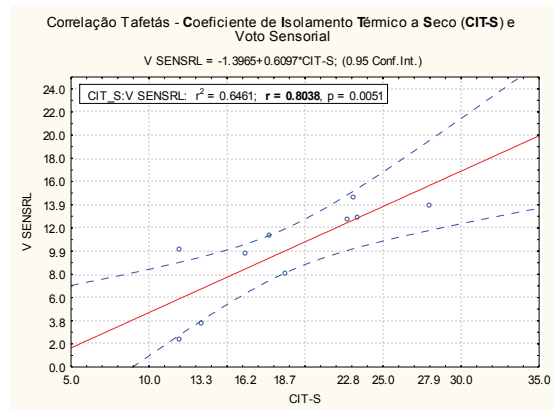
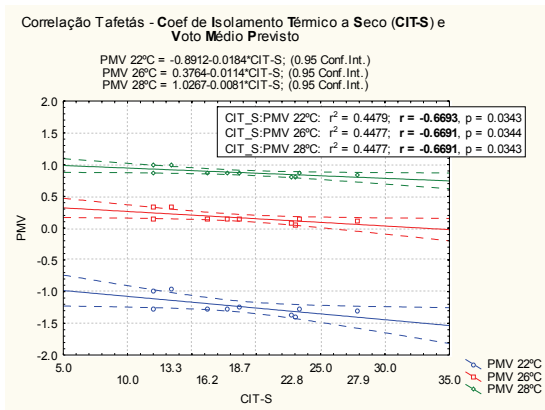
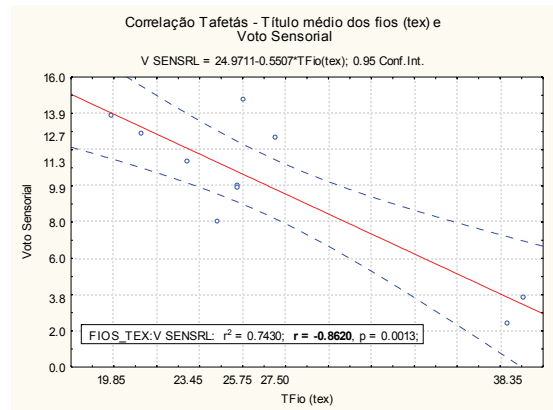
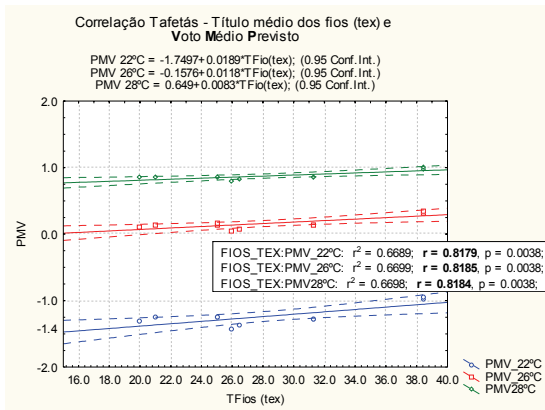
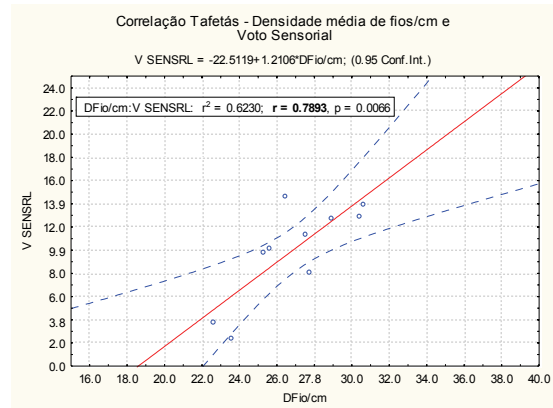
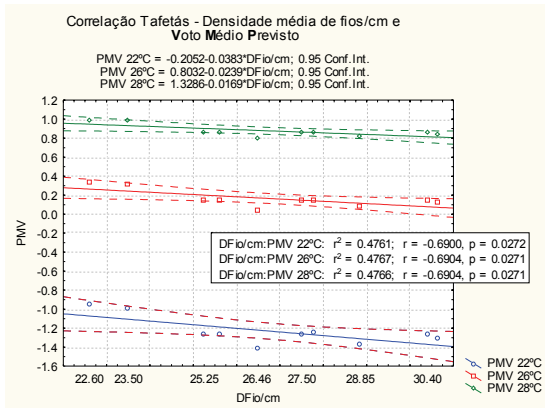
### GRÁFICOS COM AS CORRELAÇÕES DOS TAFETÁS

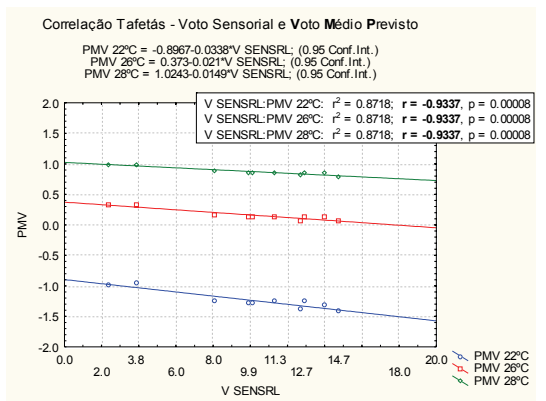
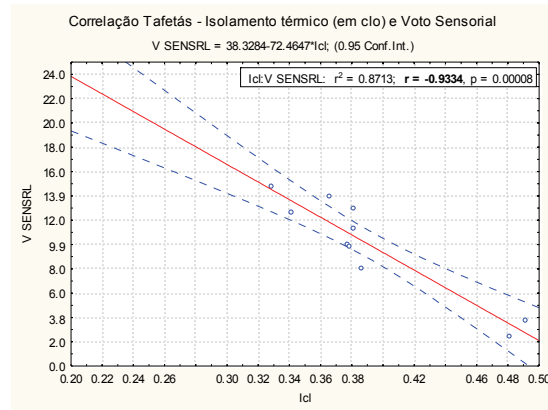
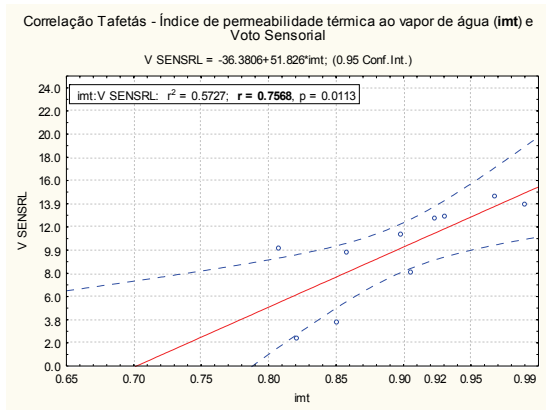
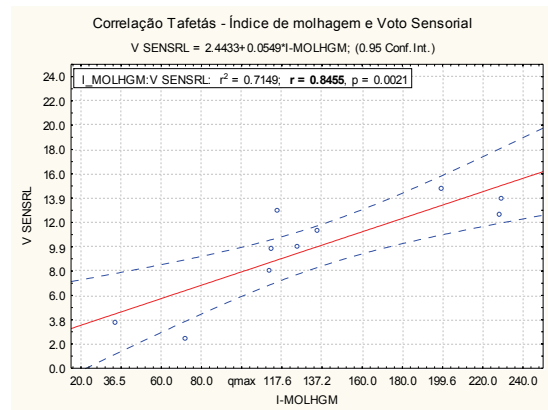
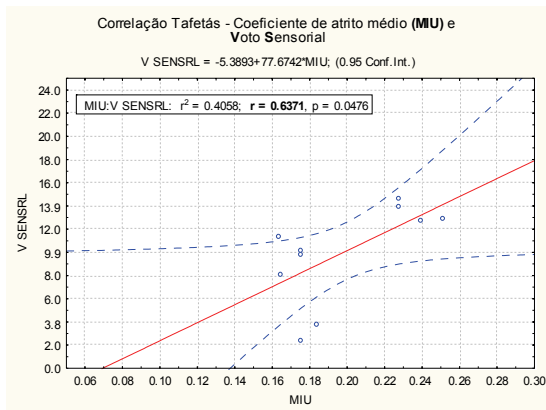
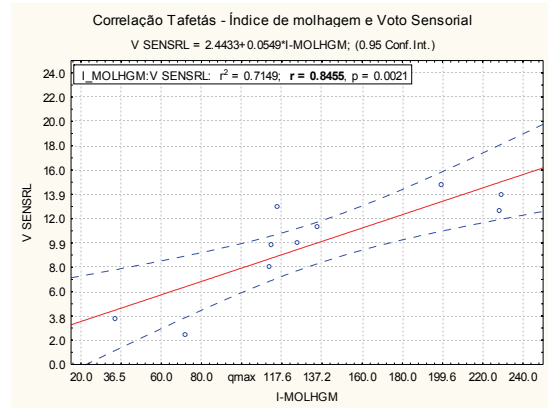
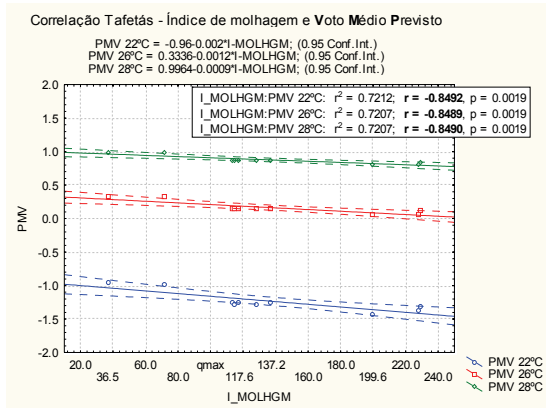






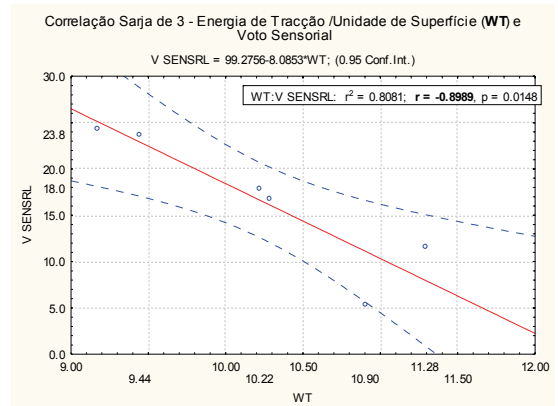
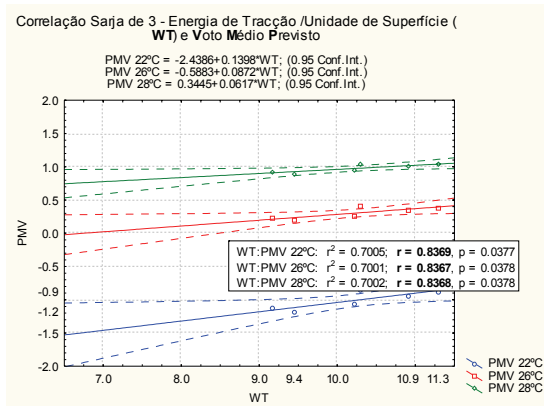
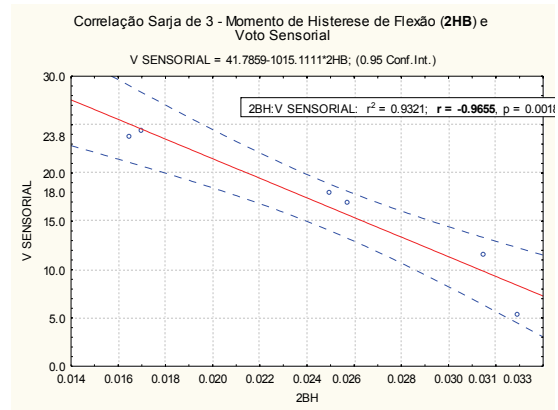
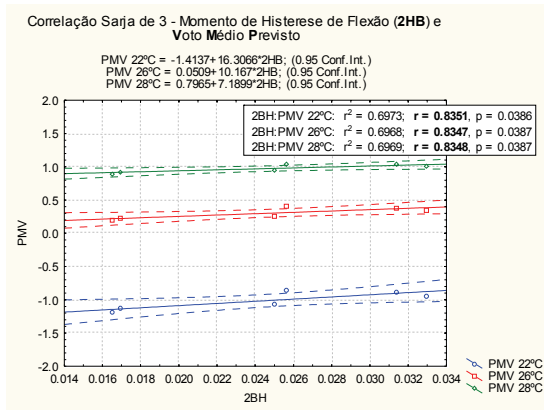
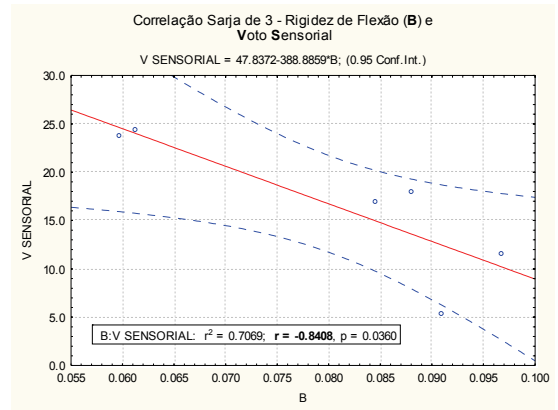
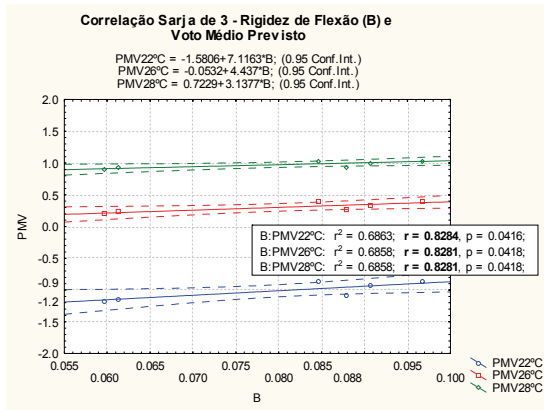
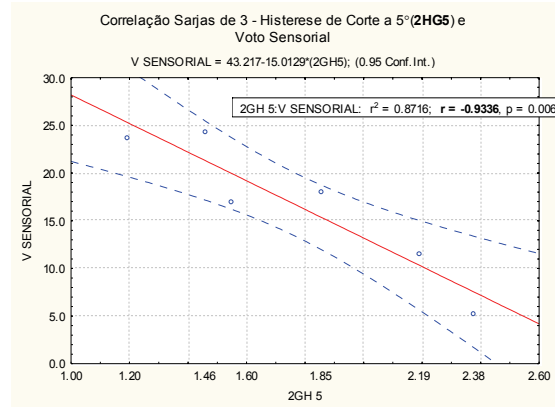
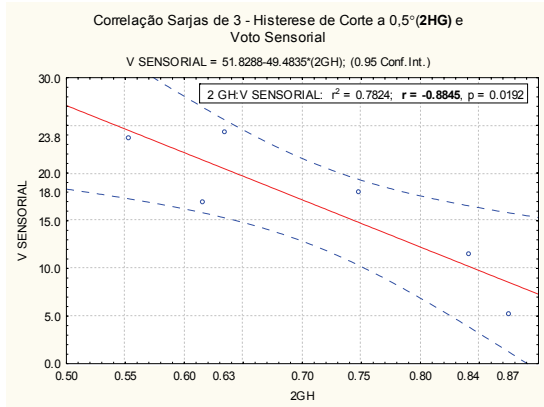
CONTRIBUIÇÃO PARA A DEFINIÇÃO DE PADRÕES DE CONFORTO DE TECIDOS FINOS DE LÃ

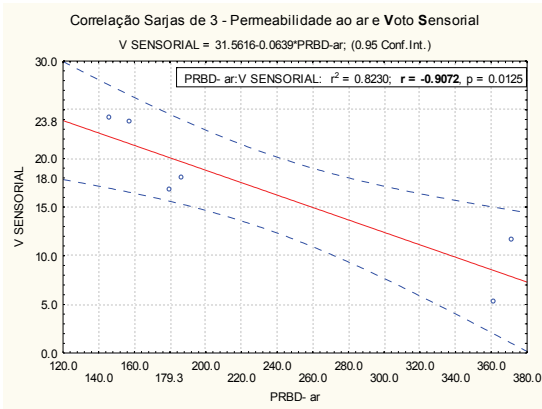
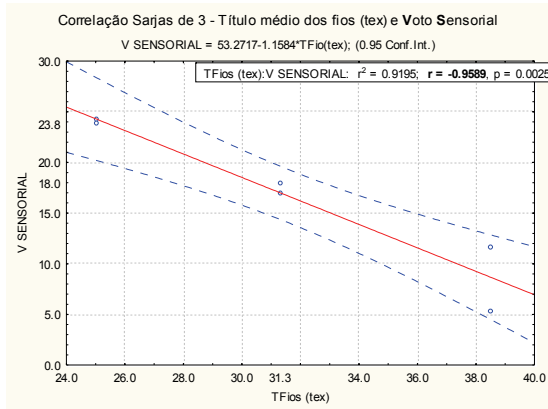
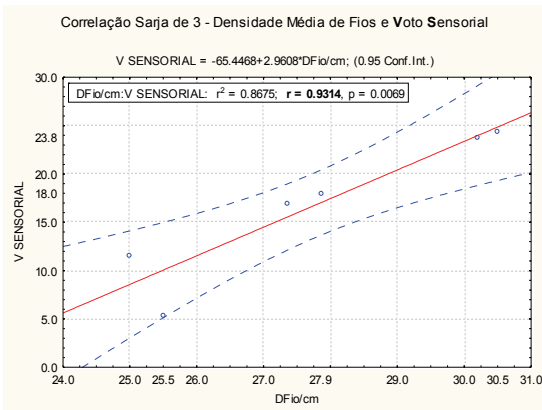
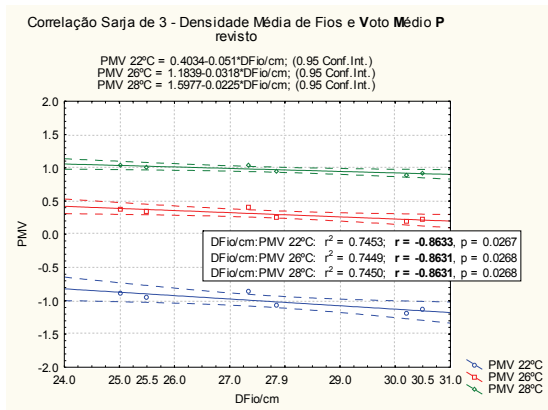
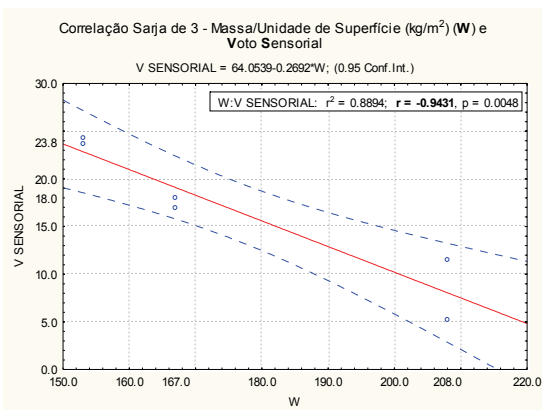
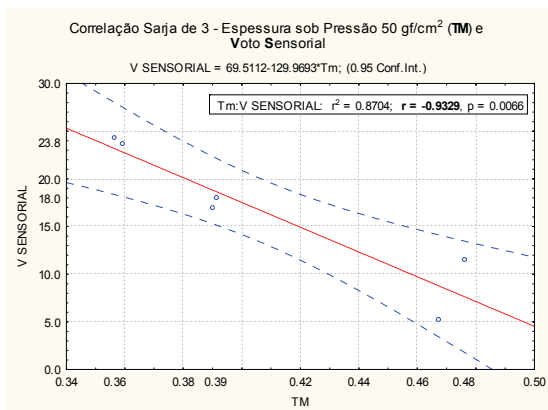
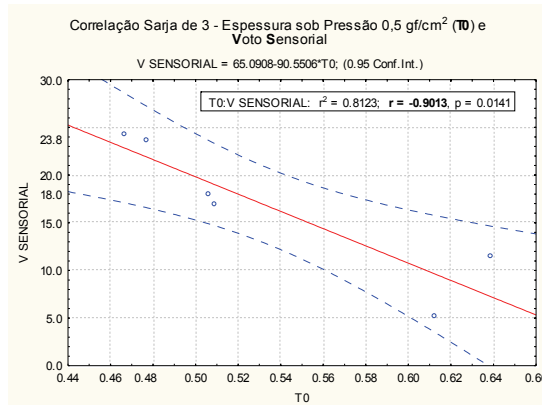
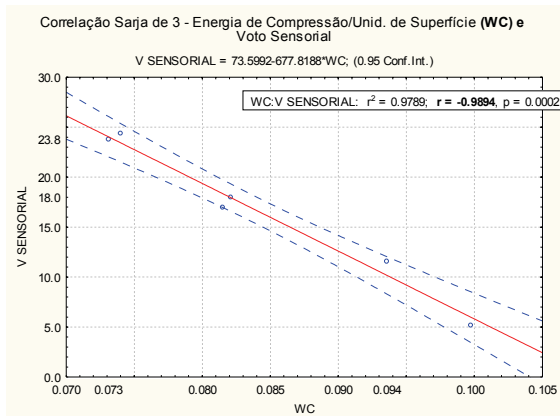




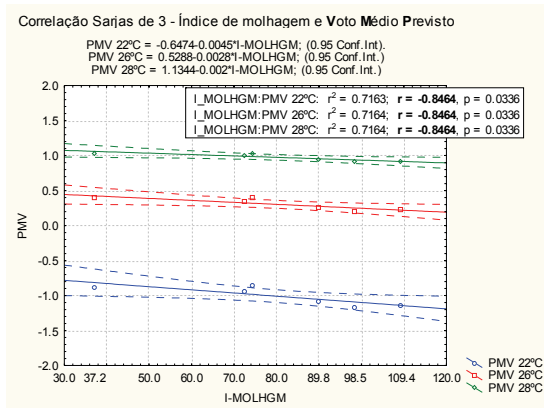
CONTRIBUIÇÃO PARA A DEFINIÇÃO DE PADRÕES DE CONFORTO DE TECIDOS FINOS DE LÃ

GRÁFICOS COM AS CORRELAÇÕES DAS SARJAS 3

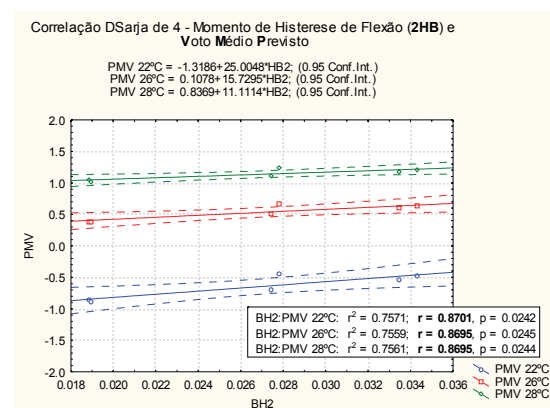
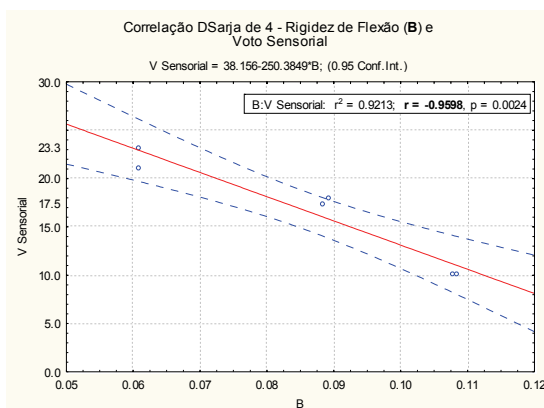
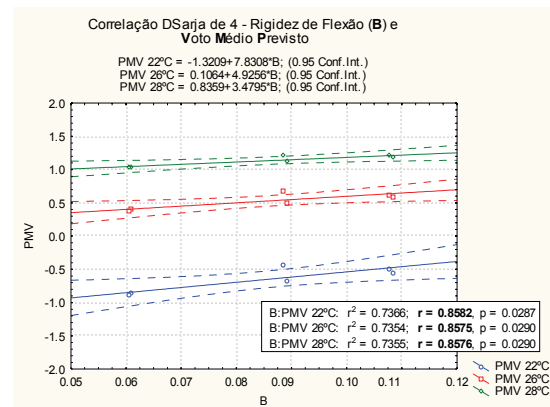
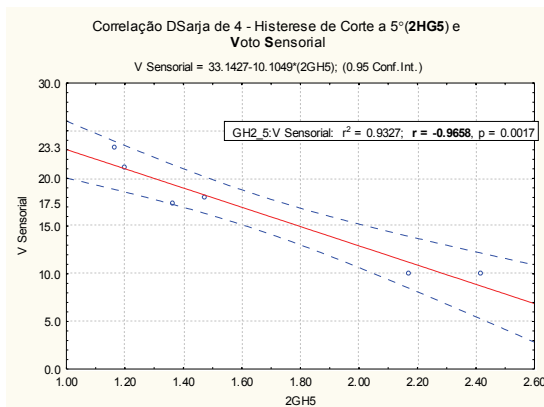
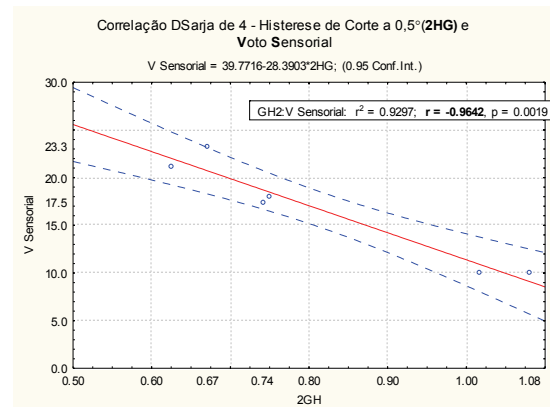
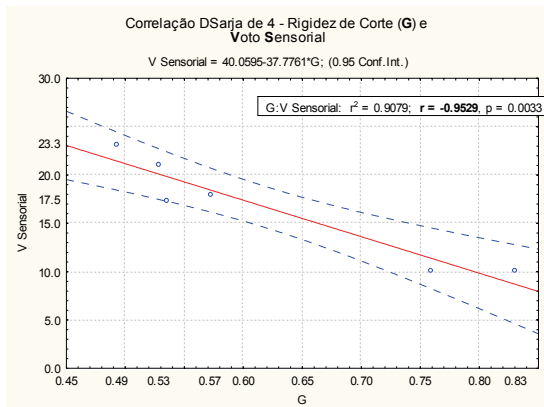


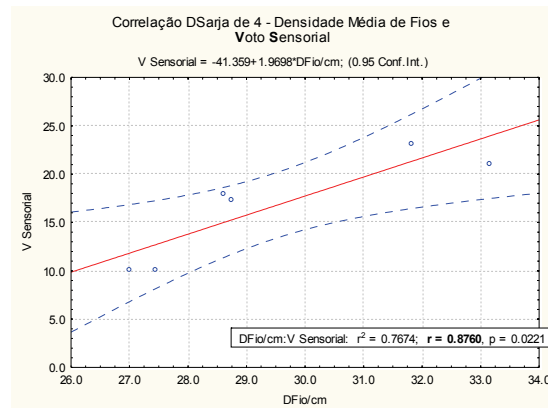
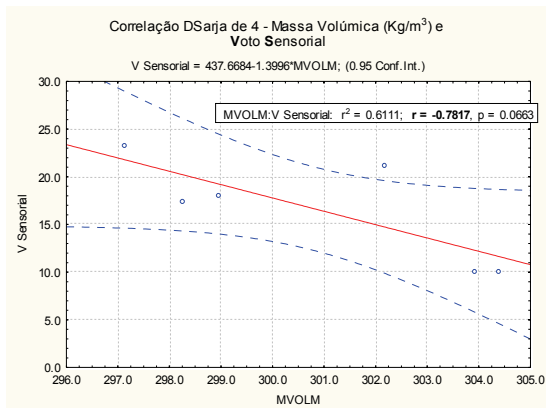
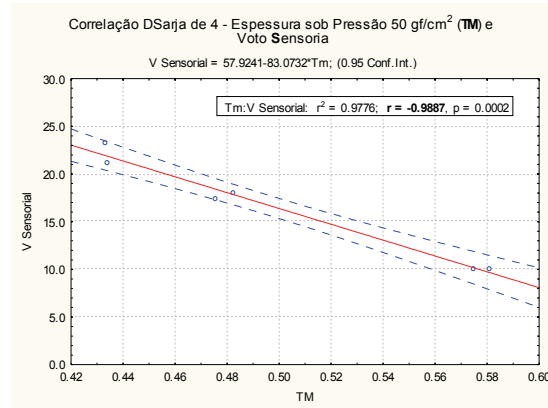
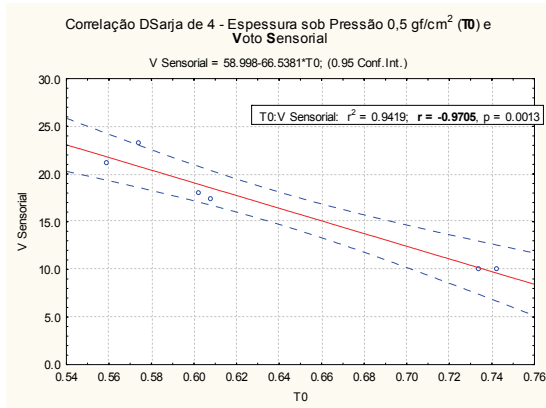
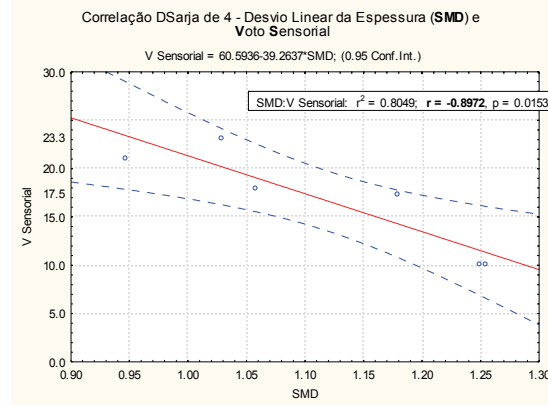
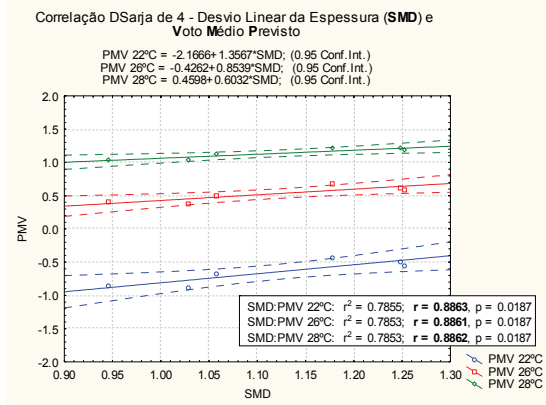
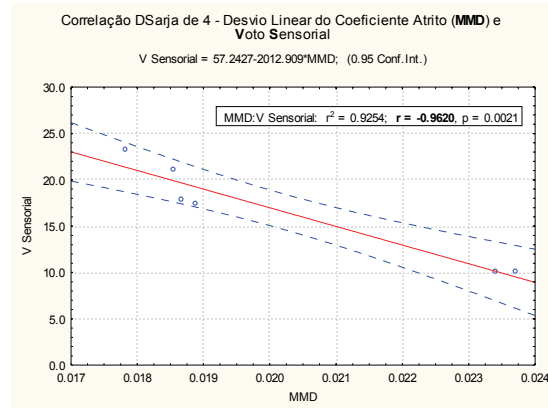
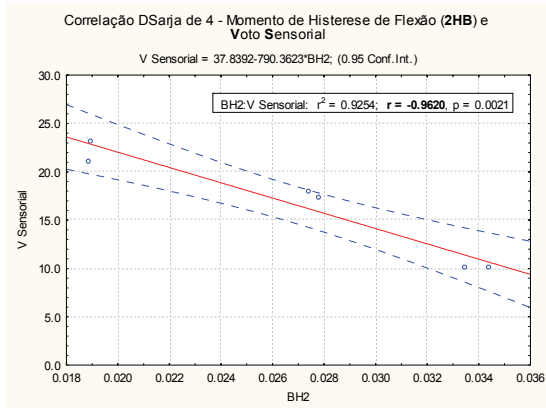


CONTRIBUIÇÃO PARA A DEFINIÇÃO DE PADRÕES DE CONFORTO DE TECIDOS FINOS DE LÃ

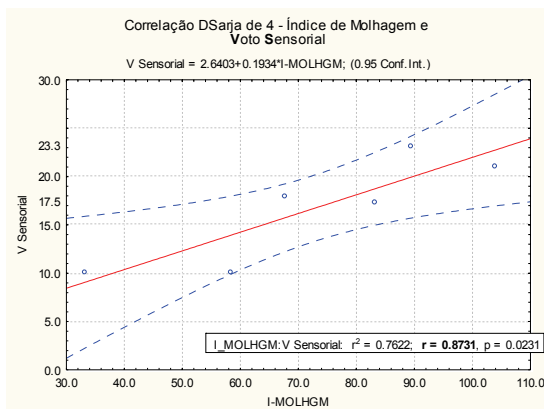
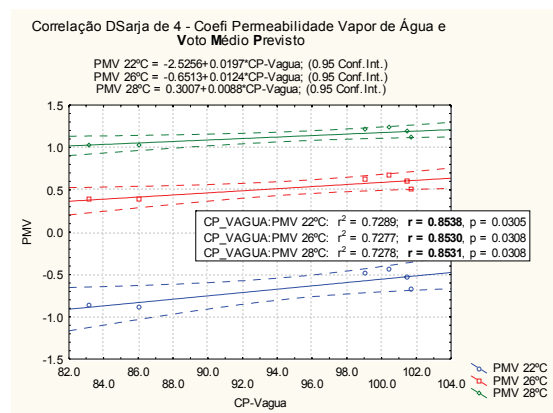
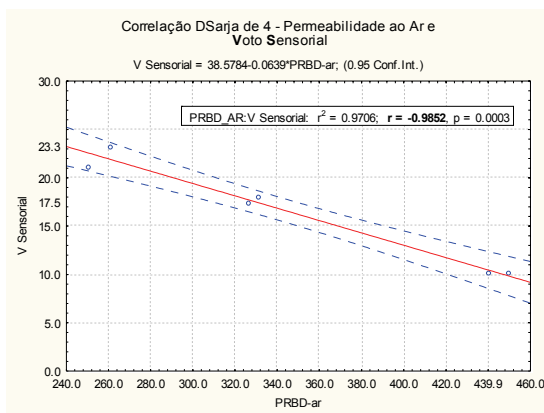
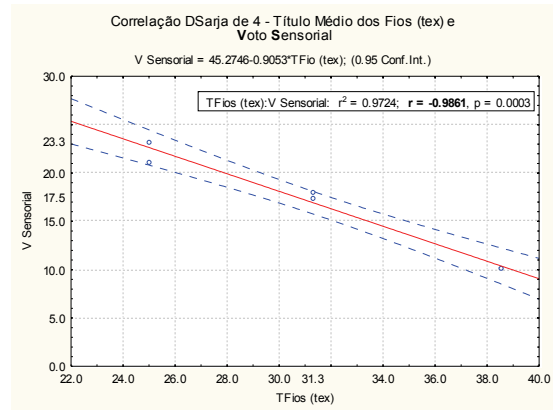
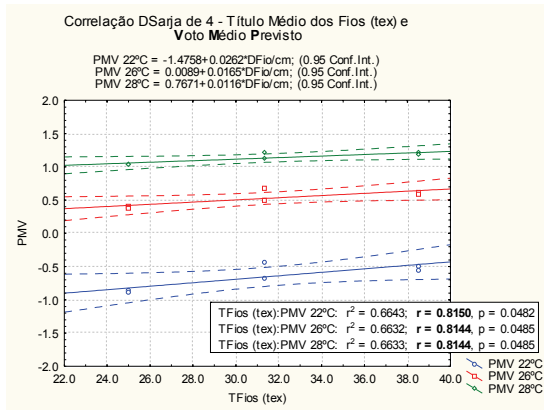


GRÁFICOS COM AS CORRELAÇÕES DOS DERIVADOS DA SARJA 4

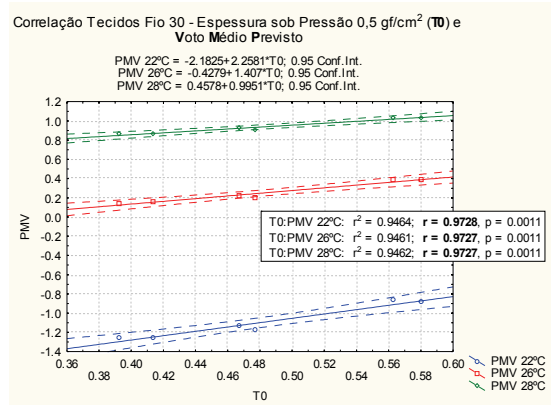
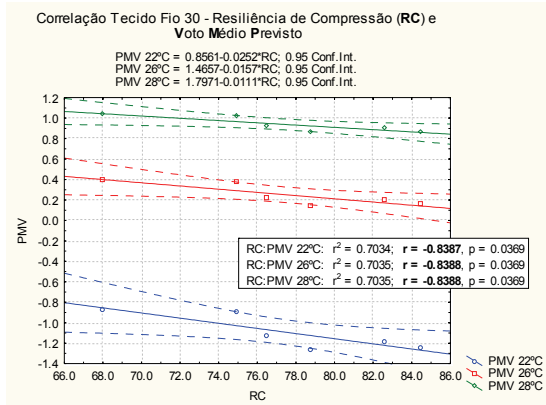
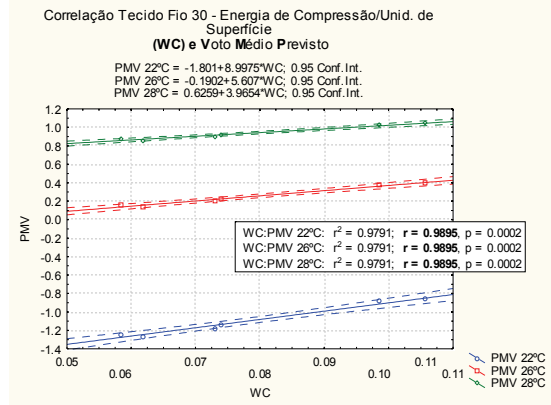
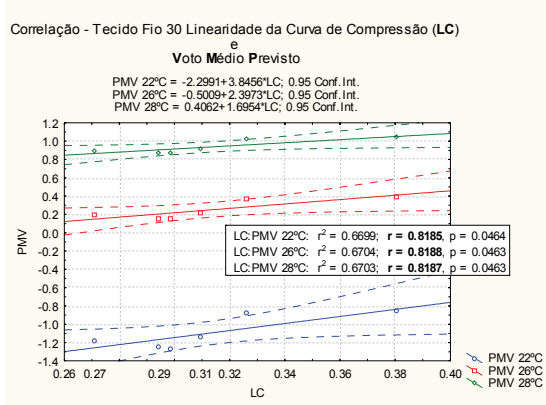
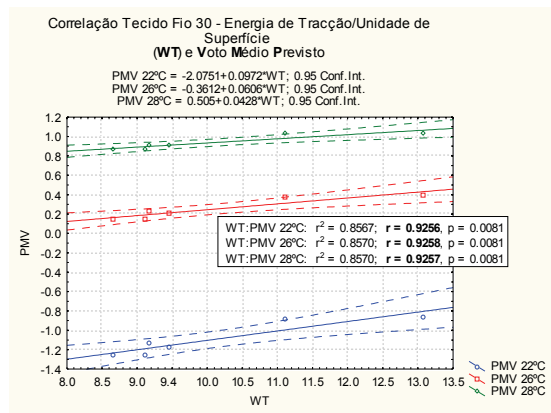
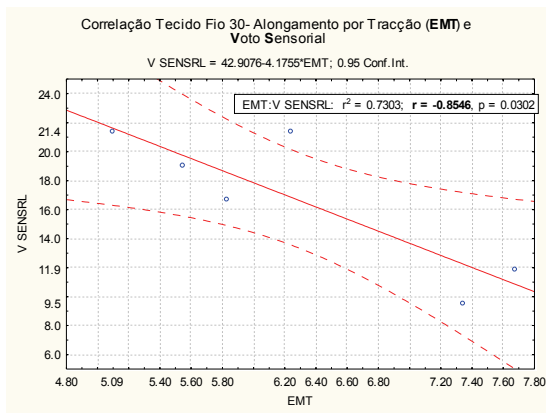
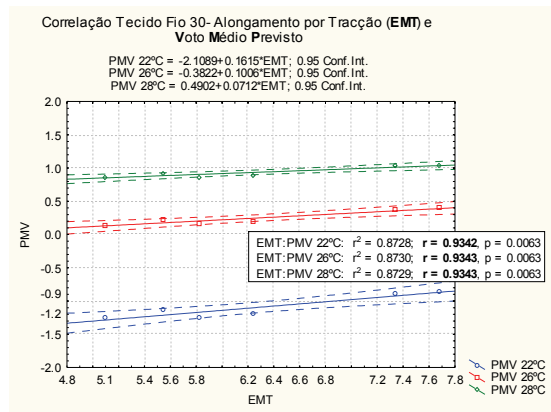
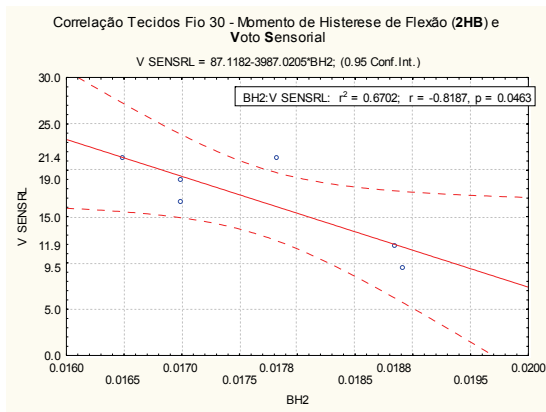




CONTRIBUIÇÃO PARA A DEFINIÇÃO DE PADRÕES DE CONFORTO DE TECIDOS FINOS DE LÃ

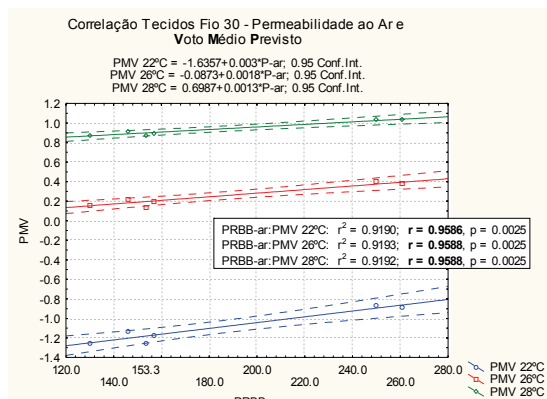
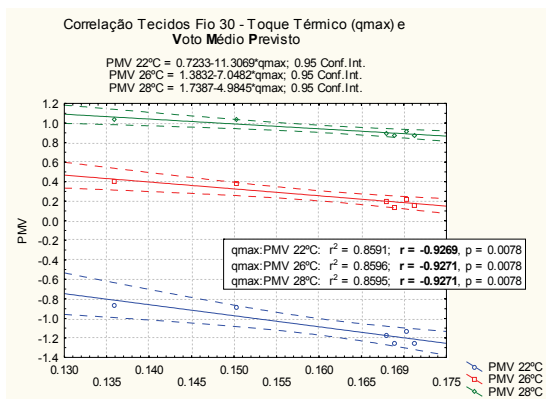
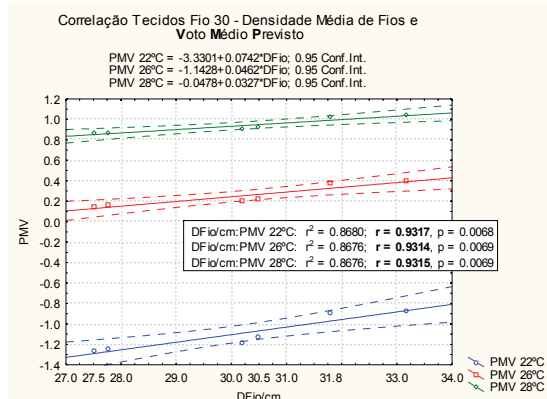
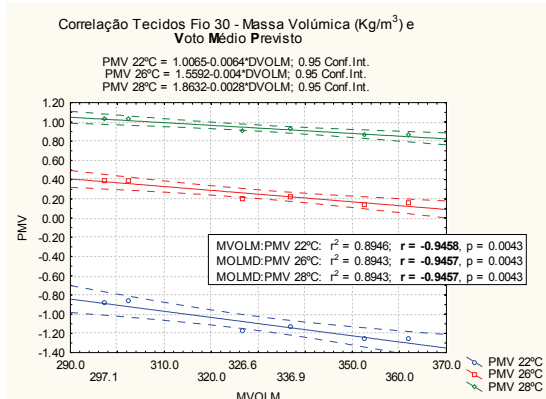
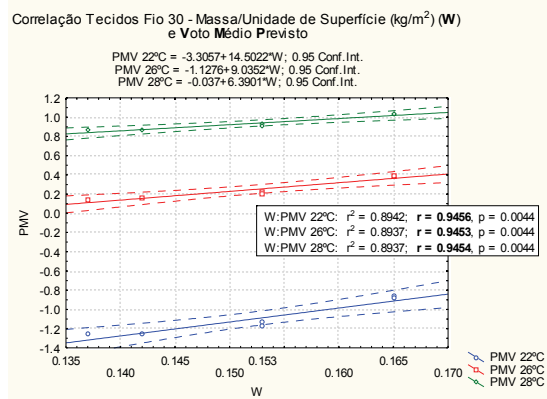
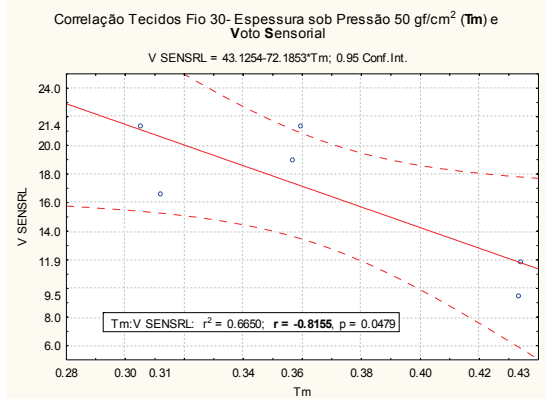
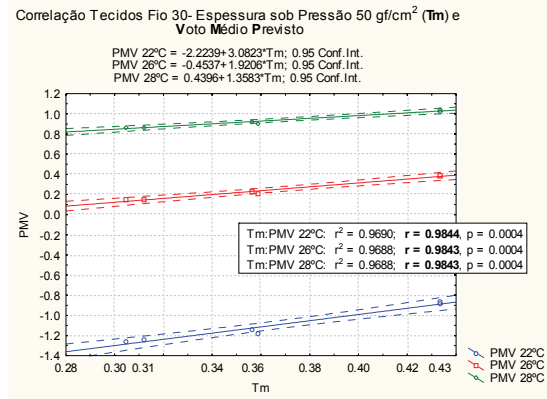
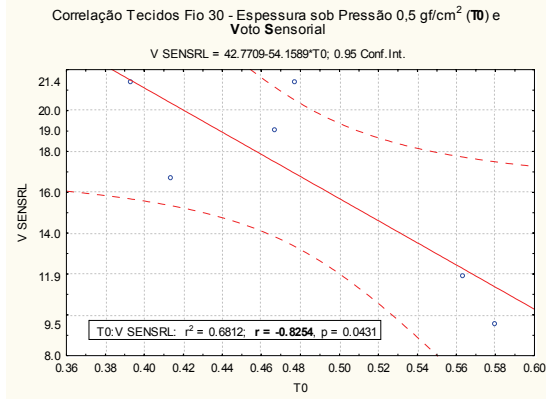


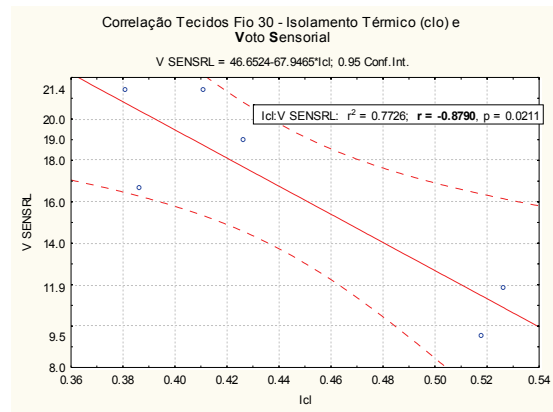
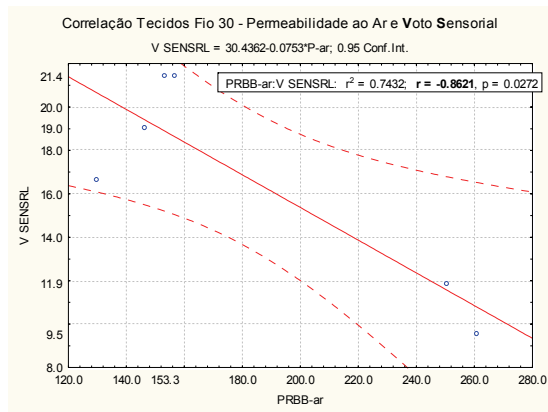
GRÁFICOS COM AS CORRELAÇÕES DAS DIFERENTES ESTRUTURAS FABRICADAS COM O FIO 30





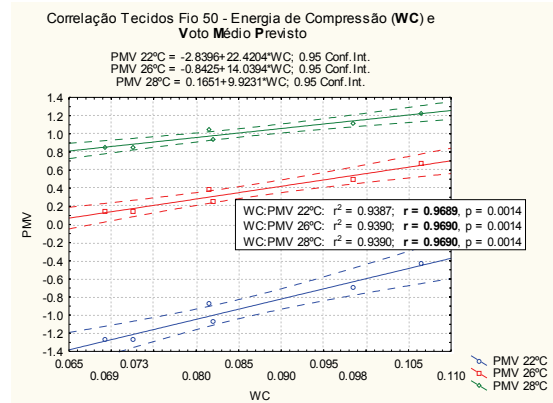
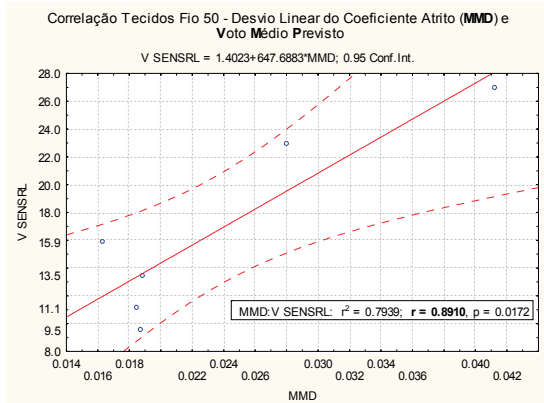
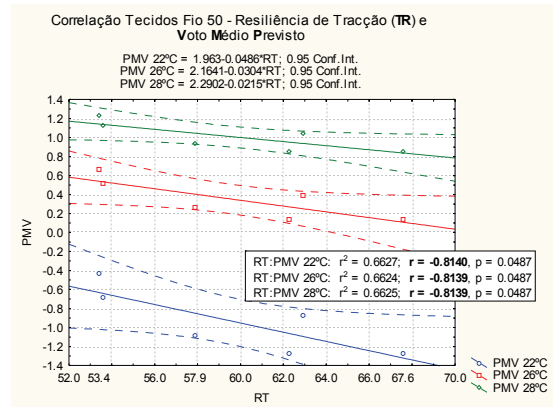
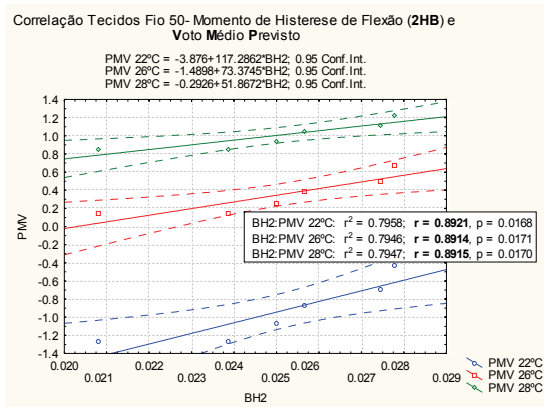
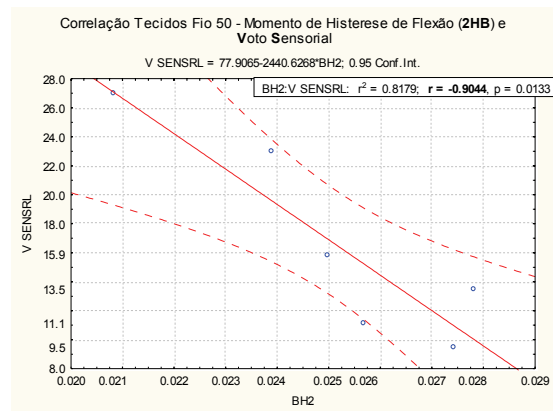
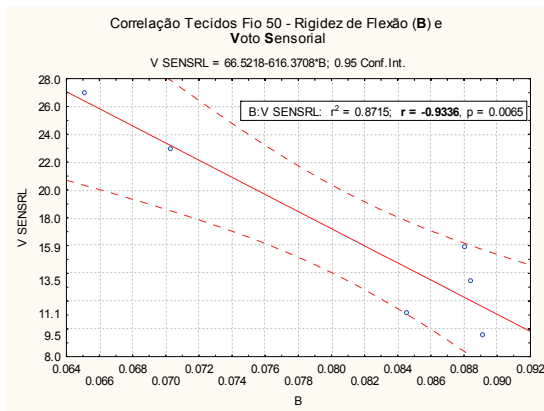
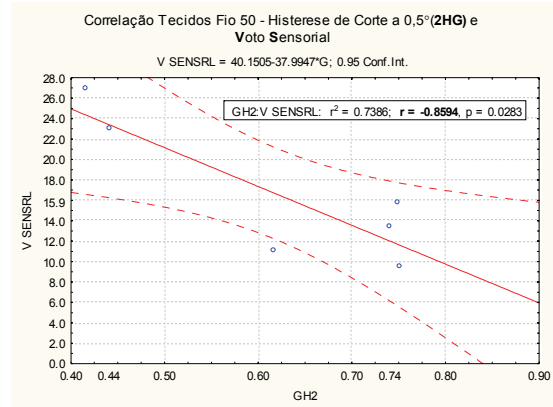
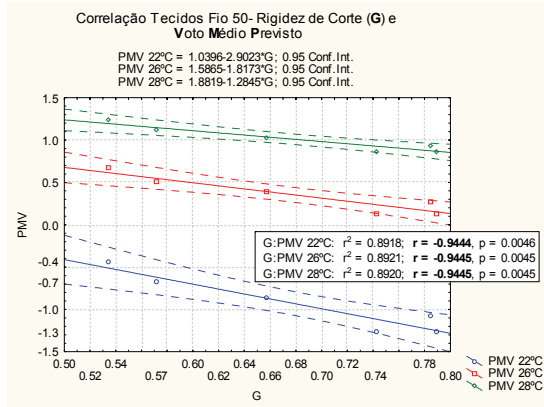
CONTRIBUIÇÃO PARA A DEFINIÇÃO DE PADRÕES DE CONFORTO DE TECIDOS FINOS DE LÃ

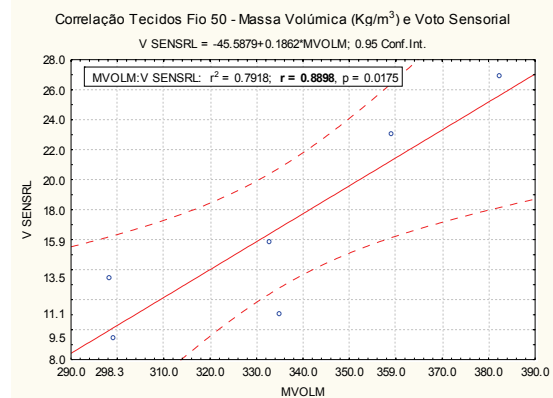
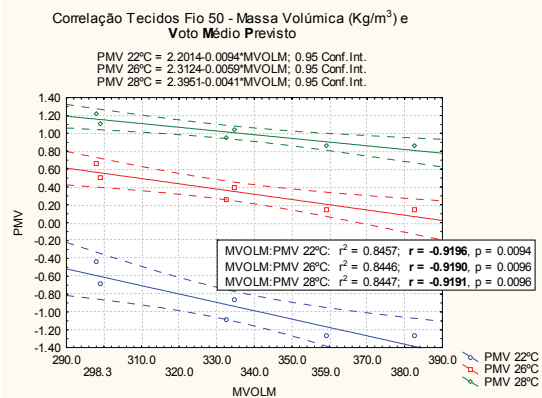
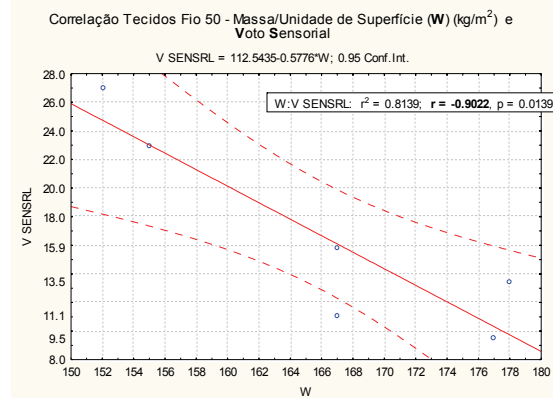
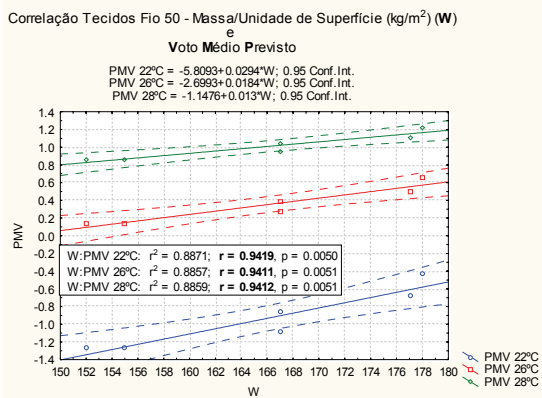
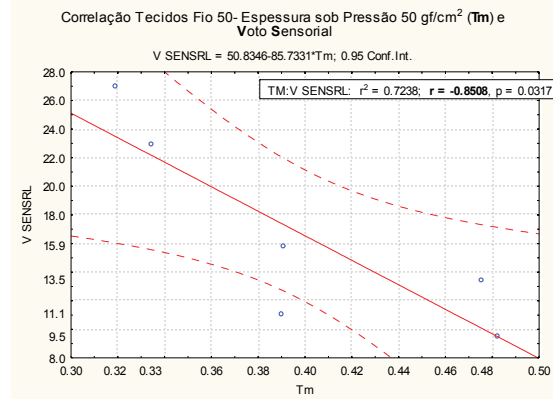
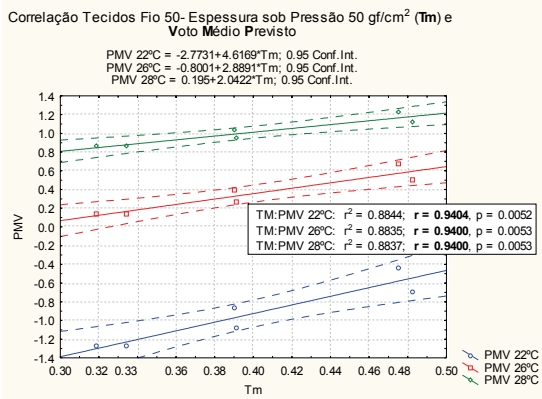
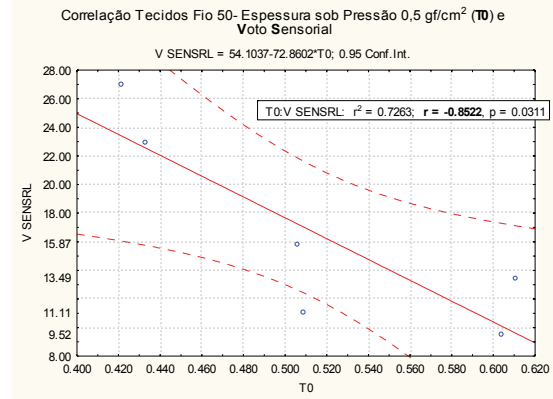
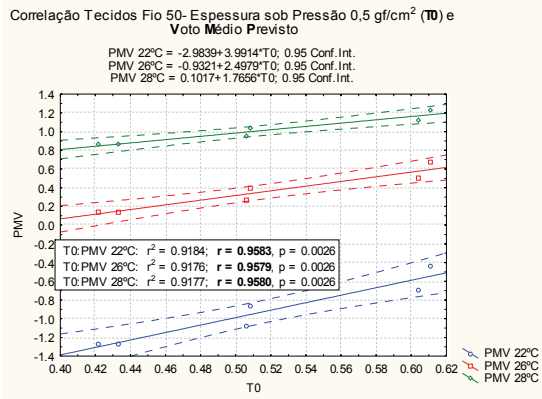




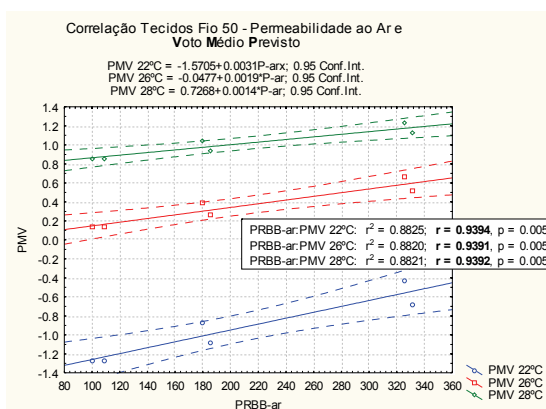
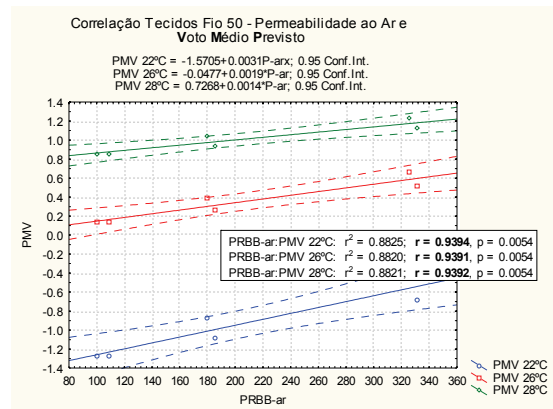
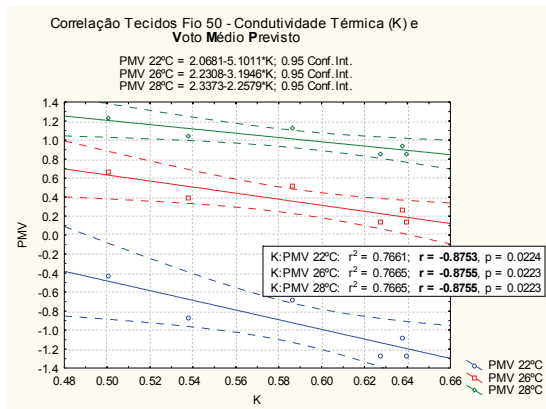
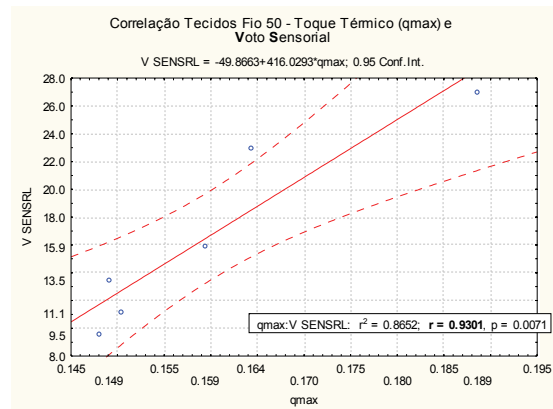
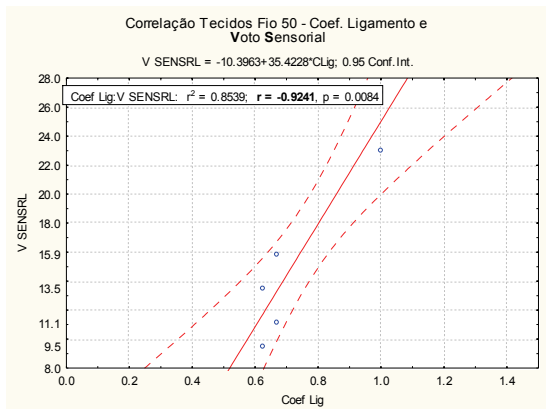
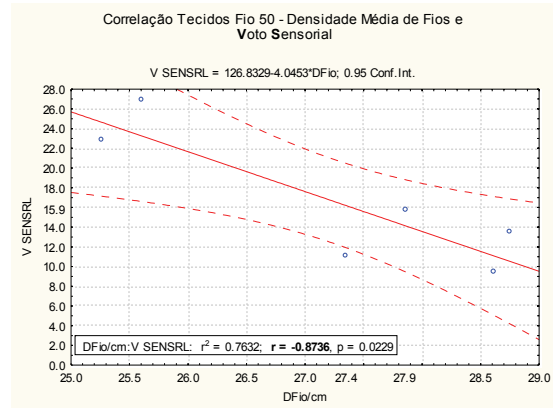
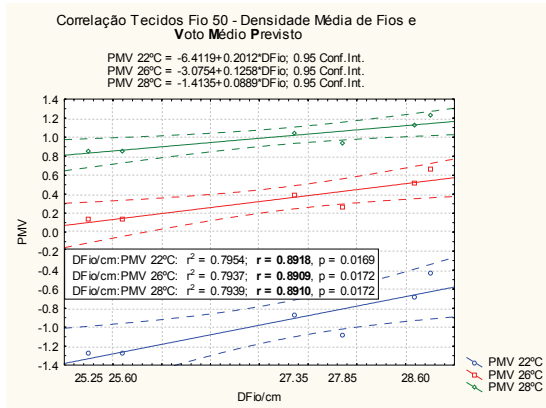
CONTRIBUIÇÃO PARA A DEFINIÇÃO DE PADRÕES DE CONFORTO DE TECIDOS FINOS DE LÃ

GRÁFICOS COM AS CORRELAÇÕES DAS DIFERENTES ESTRUTURAS FABRICADAS COM O FIO 50

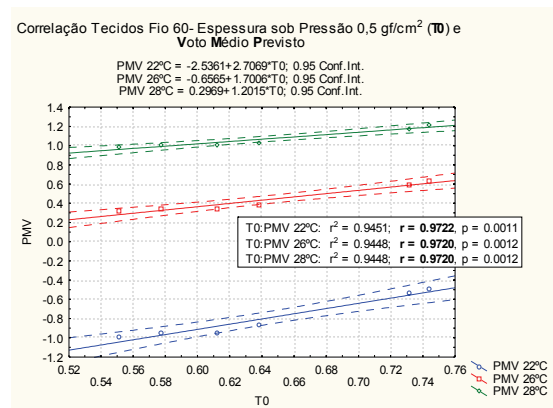
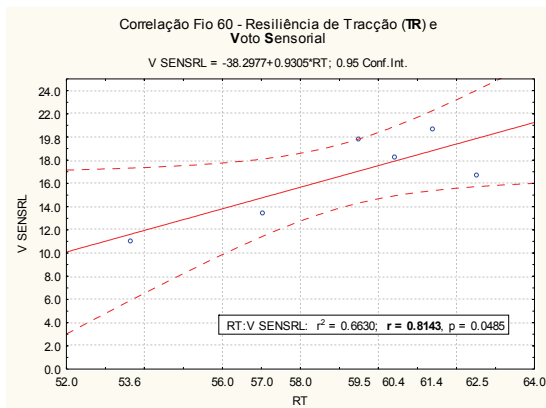
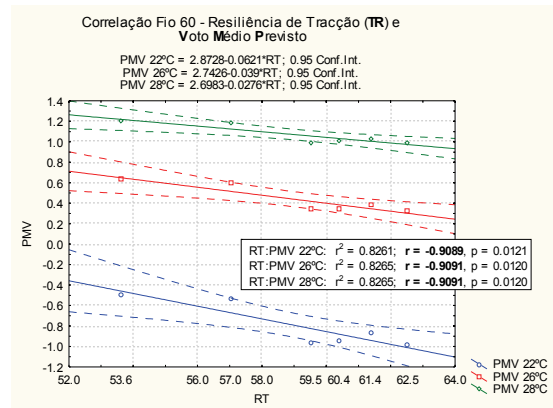
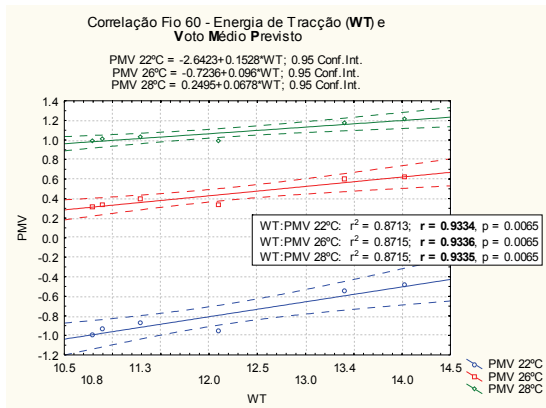
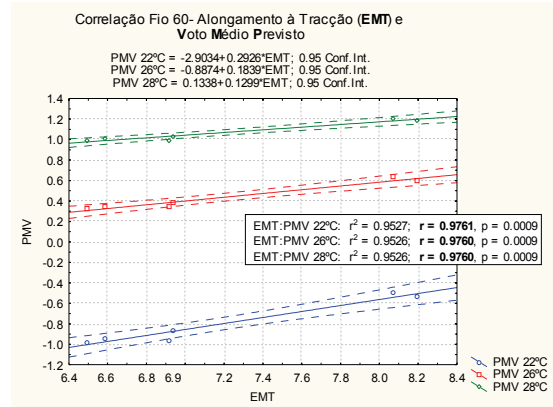
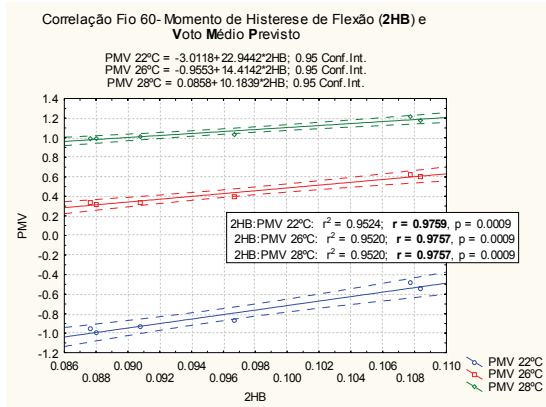




CONTRIBUIÇÃO PARA A DEFINIÇÃO DE PADRÕES DE CONFORTO DE TECIDOS FINOS DE LÃ

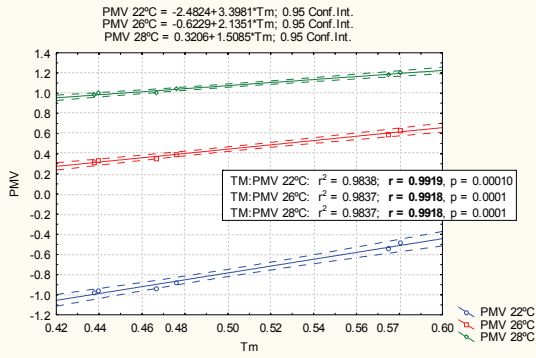


GRÁFICOS COM AS CORRELAÇÕES DAS DIFERENTES ESTRUTURAS FABRICADAS COM O FIO 60

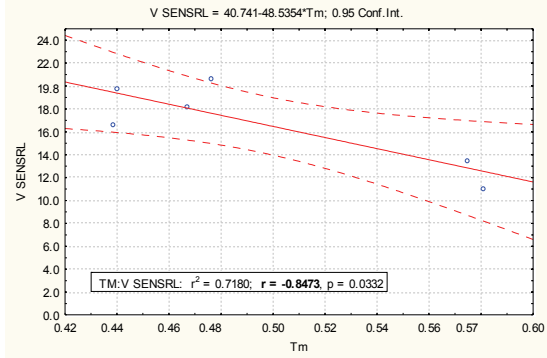


CONTRIBUIÇÃO PARA A DEFINIÇÃO DE PADRÕES DE CONFORTO DE TECIDOS FINOS DE LÃ

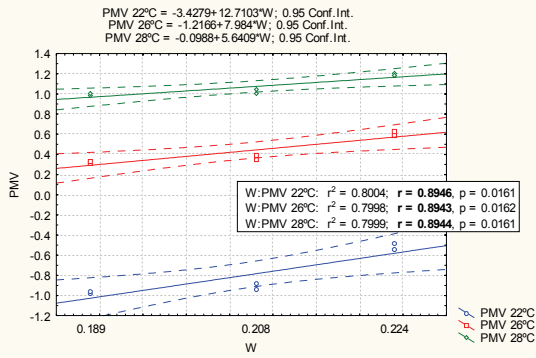
Correlação Tecidos Fio 60- Espessura sob Pressão 50 gf/cm<sup>2</sup> (Tm) e Voto Médio Previsto



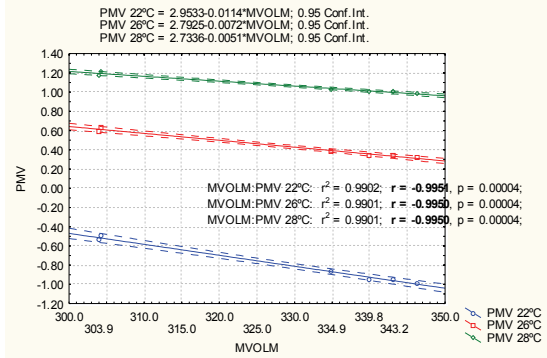
Correlação Tecidos Fio 60- Espessura sob Pressão 50 gf/cm<sup>2</sup> (Tm) e Voto Sensorial



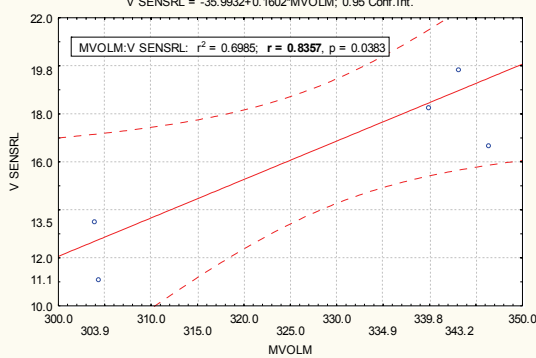
Correlação Tecidos Fio 60 - Massa/Unidade Superfície (kg/m<sup>2</sup>) (W) e Voto Médio Previsto



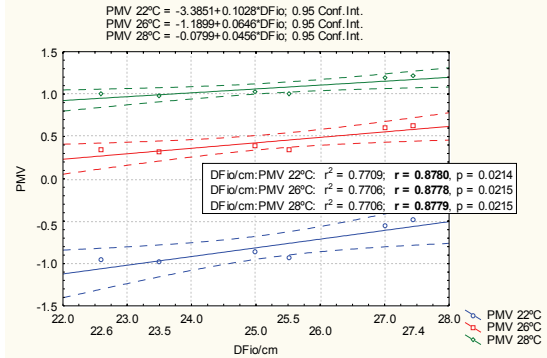
Correlação Tecidos Fio 60 - Massa Volumica (Kg/m<sup>3</sup>) e Voto Médio Previsto



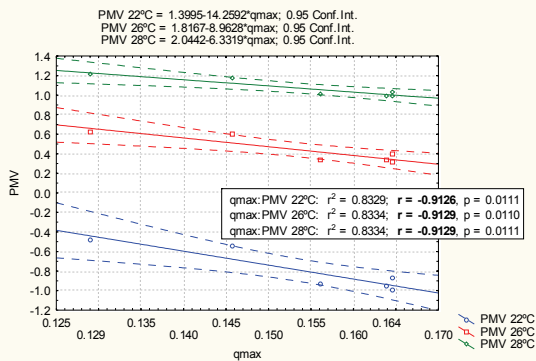
Correlação Tecidos Fio 60 - Massa Volumica (Kg/m<sup>3</sup>) e Voto Sensorial



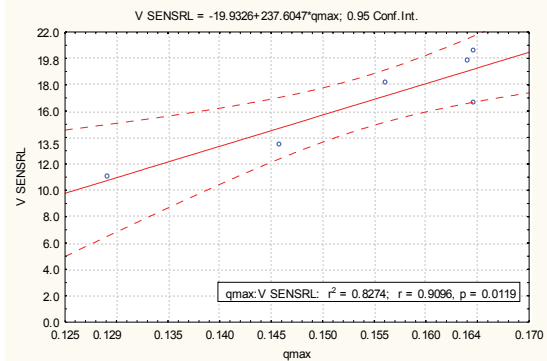
Correlação Tecidos Fio 60 - Densidade Média de Fios e Voto Médio Previsto

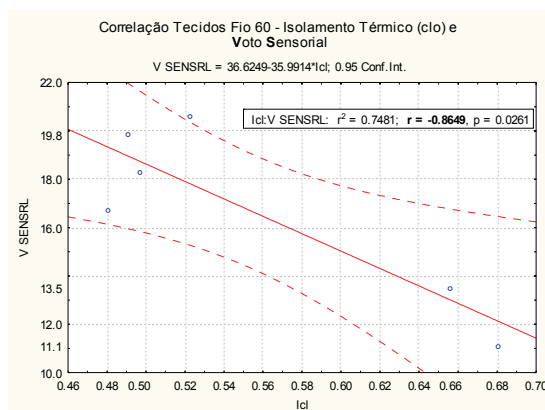
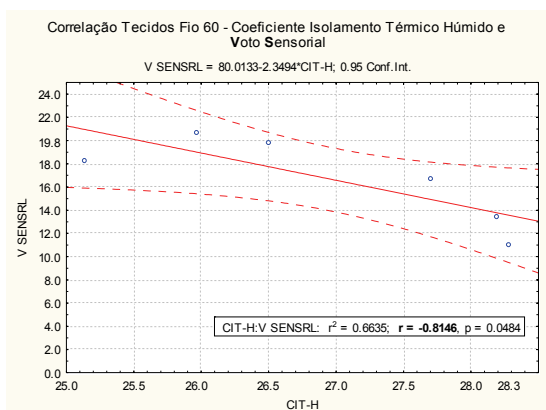


Correlação Tecidos Fio 60 - Toque Térmico (qmax) e Voto Médio Previsto



Correlação Tecidos Fio 60 - Toque Térmico (qmax) e Voto Sensorial





**Tabela AIII.11: Cálculo do Conforto Sensorial (na escala de 0 a 5) - Sarjas**

Estrutura	Sarja de 3			Derivado da Sarja 4			
Propriedade	Rigidez de Corte (B)			Rigidez de Corte (B)			
Factor de Conversão	9,56			7,64			
Formula do Conf Sensori.	$\frac{24,1603 - 232,0252 * B}{\text{Factor de Conversão}}$			$\frac{19,2031 - 0,6843 * B}{\text{Factor de Conversão}}$			
COD Tecidos	B	VS Calculado	Escala Convertida	COD Tecidos	B	VS Calculado	Escala Convertida
33	0,060	24,6	2,6	35	0,061	23,0	3,0
34	0,061	24,0	2,5	36	0,061	22,9	3,0
53	0,085	15,0	1,6	55	0,088	16,0	2,1
54	0,088	13,6	1,4	56	0,089	15,9	2,1
63	0,091	12,5	1,3	65	0,108	11,2	1,5
64	0,097	10,2	1,1	66	0,108	11,0	1,4
Mini.	0,000	47,8	5,0	Mini.	0,000	38,2	5,0

**Conversão de escala:**  
 Trata-se de uma correlação inversa em que quanto menor o valor da propriedade mecânica (B), maior o valor do Conforto Sensorial, no limite um valor de zero para B, obtém-se o valor máximo de Conforto Sensorial que se fixou em 5.  
 Para se converter a escala, fez-se coincidir a ordenada na origem com o valor 5. Isto é conseguido dividindo a ordenada na origem por um número, cujo o quociente é 5. Esse dividendo encontrado, ao qual se chamou Factor de Conversão, foi aplicado à equação linear da propriedade.



Tabela AIII.10: Resultados das Medições das Forças de Tracção de Deslizamento (N)											
COD Condições		21	22	31	32	41	42	51	52	61	62
		(A) 12 Pinos Metálicos	Teia (A)	0,42	0,44	0,34	0,43	0,45	0,4	0,44	0,38
Trama (A)	0,4		0,42	0,37	0,45	0,38	0,45	0,4	0,35	0,57	0,59
Diagonal (A)	0,4		0,46	0,36	0,44	0,37	0,47	0,42	0,37	0,6	0,61
Média (A)	0,405		0,443	0,354	0,439	0,397	0,441	0,419	0,365	0,602	0,610
(B) 6 Pinos Metálicos e 6 Pinos Recobertos por Pele	Teia (B)	2,22	3,15	2,44	3,25	2,54	3,44	2,61	2,52	4,41	4,16
	Trama (B)	1,84	2,82	2,51	3,2	2,07	3,36	2,1	2,29	3,66	3,77
	Diagonal (B)	1,86	3,09	2,21	3,21	2,01	3,38	2,17	2,42	3,64	3,57
	Média (B)	1,973	3,020	2,388	3,222	2,209	3,394	2,294	2,410	3,903	3,835
(C) 12 Pinos Recobertos por Pele	Teia (C)	7,1	13,8	11,8	10,1	12,3	15,2	13,6	14,5	21,3	21,6
	Trama (C)	4,31	11,7	10,4	11,8	10,7	12,9	12	11,8	24,6	21
	Diagonal (C)	5,45	13,2	10,3	10,1	10,5	14	11,8	12	23,1	20,4
	Média (C)	5,618	12,917	10,837	10,638	11,177	14,055	12,461	12,781	23,011	21,003

## Correlação entre as propriedades as subjectivas e mecânicas e a força de tracção

Correlations (taf_tracc.sta)												
Marked correlations are significant at $p < ,05000$												
N=10 (Casewise)												
	FTD teia (A)	FTD trama (A)	FTD diagonal (A)	FTD média (A)	FTD Teia (B)	FTD Trama (B)	FTD Diagona (B)	FTD Média (B)	FTD Teia (C)	FTD trama (C)	FTD Diagona (C)	FTD Média (C)
G	0.4257 p=,220	0.5517 p=,098	0.4939 p=,147	0.4969 p=,144	0.5882 p=,074	0.625 p=,053	0.5014 p=,140	0.5818 p=,078	0.5802 p=,079	<b>0.7238</b> p=,018	<b>0.6367</b> p=,048	<b>0.6585</b> p=,038
2GH	0.6198 p=,056	<b>0.7479</b> p=,013	<b>0.6943</b> p=,026	<b>0.698</b> p=,025	<b>0.773</b> p=,009	<b>0.7781</b> p=,008	<b>0.6684</b> p=,035	<b>0.7533</b> p=,012	<b>0.6977</b> p=,025	<b>0.8341</b> p=,003	<b>0.7762</b> p=,008	<b>0.7819</b> p=,008
2GH5	<b>0.6947</b> p=,026	<b>0.777</b> p=,008	<b>0.7377</b> p=,015	<b>0.7496</b> p=,013	<b>0.7937</b> p=,006	<b>0.7564</b> p=,011	<b>0.6531</b> p=,041	<b>0.7484</b> p=,013	<b>0.778</b> p=,008	<b>0.893</b> p=,001	<b>0.8359</b> p=,003	<b>0.848</b> p=,002
B	<b>0.7063</b> p=,022	<b>0.6785</b> p=,031	<b>0.6751</b> p=,032	<b>0.7022</b> p=,024	0.6723 p=,033	0.5875 p=,074	0.5188 p=,124	0.605 p=,064	<b>0.8015</b> p=,005	<b>0.846</b> p=,002	<b>0.7905</b> p=,006	<b>0.8221</b> p=,004
2BH	0.5877 p=,074	0.4692 p=,171	0.49 p=,151	0.5304 p=,115	0.4951 p=,146	0.3694 p=,293	0.3266 p=,357	0.4064 p=,244	<b>0.7309</b> p=,016	<b>0.7488</b> p=,013	<b>0.6983</b> p=,025	<b>0.7335</b> p=,016
EMT	-0.089 p=,806	-0.025 p=,946	0.0971 p=,790	-0.007 p=,984	0.0801 p=,826	0.0838 p=,818	0.2475 p=,491	0.1374 p=,705	0.0545 p=,881	-0.118 p=,746	0.0314 p=,931	-0.017 p=,962
MIU	-0.118 p=,746	-0.138 p=,703	-0.083 p=,820	-0.115 p=,753	-0.129 p=,722	-0.166 p=,647	-0.063 p=,863	-0.122 p=,737	-0.21 p=,561	-0.346 p=,327	-0.215 p=,550	-0.265 p=,460
T0	<b>0.9405</b> p=,000	<b>0.9005</b> p=,000	<b>0.9229</b> p=,000	<b>0.9424</b> p=,000	<b>0.8446</b> p=,002	<b>0.7046</b> p=,023	<b>0.6851</b> p=,029	<b>0.7598</b> p=,011	<b>0.8591</b> p=,001	<b>0.8594</b> p=,001	<b>0.8728</b> p=,001	<b>0.8721</b> p=,001
PMV	<b>0.8962</b> p=,000	<b>0.8829</b> p=,001	<b>0.8948</b> p=,000	<b>0.9109</b> p=,000	<b>0.8285</b> p=,003	<b>0.7137</b> p=,020	<b>0.6766</b> p=,032	<b>0.7543</b> p=,012	<b>0.8375</b> p=,002	<b>0.8654</b> p=,001	<b>0.8624</b> p=,001	<b>0.8644</b> p=,001
VS	<b>-0.782</b> p=,007	<b>-0.814</b> p=,004	<b>-0.804</b> p=,005	<b>-0.816</b> p=,004	<b>-0.809</b> p=,005	<b>-0.737</b> p=,015	<b>-0.69</b> p=,027	<b>-0.759</b> p=,011	<b>-0.773</b> p=,009	<b>-0.882</b> p=,001	<b>-0.82</b> p=,004	<b>-0.837</b> p=,003
N. Correlç signifcati.	5	6	6	6	5	5	5	5	7	8	8	8

Fig. AIII.15: Correlação entre as Propriedades Subjectivas, as Mecânicas e a de Força de Tracção de Deslizamento para ao Tafetás

CONTRIBUIÇÃO PARA A DEFINIÇÃO DE PADRÕES DE CONFORTO DE TECIDOS FINOS DE LÃ

GRÁFICOS COM AS CORRELAÇÕES DA PROPRIEDADES DE FORÇA DE TRACÇÃO DE DESLIZAMENTO E VOTO SENSORIAL

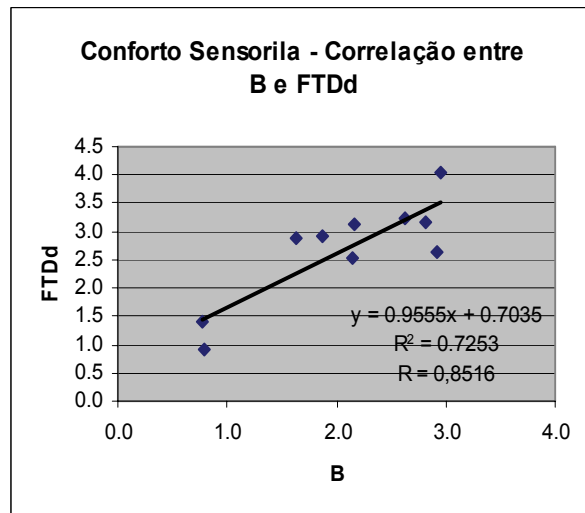
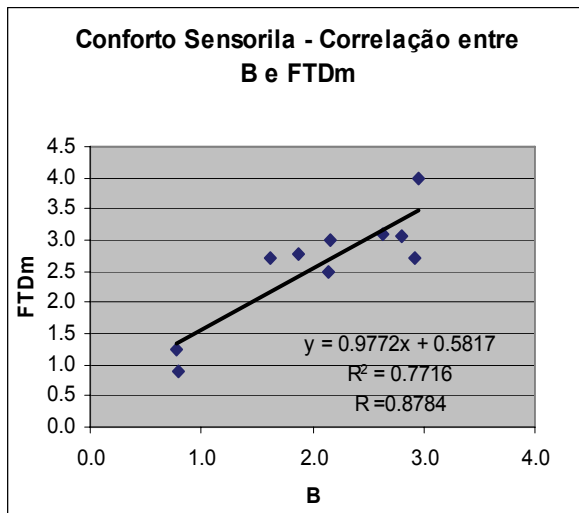
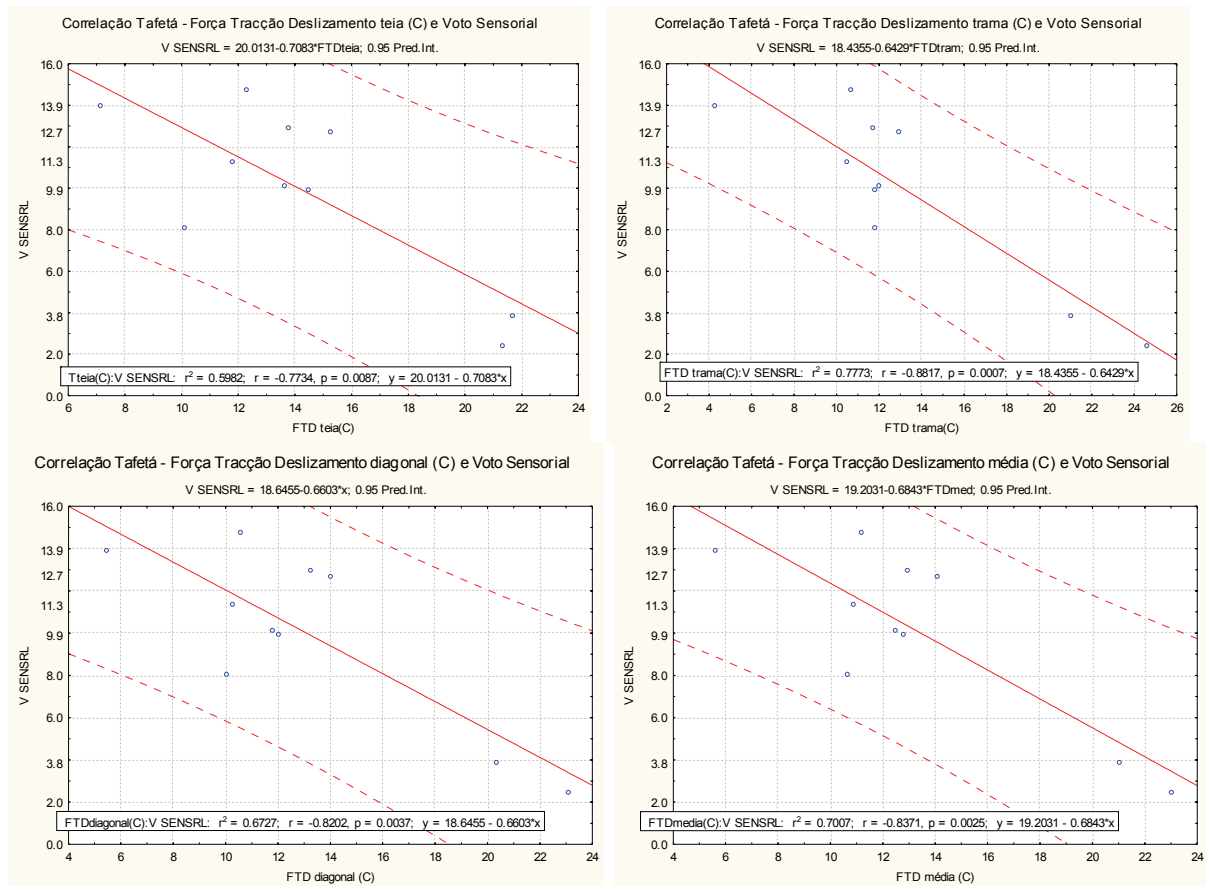


Figura AII.16 Correlação do Conforto Sensorial Calculado a Partir das Propriedade de Rigidez de Flexão e Força de Tracção de Deslizamento (Média e Diagonal)

Tabela All. 12: Cálculo do Conforto Sensorial (na escala de 0 a 5) - Tafetás												
Estrutura	Tafetá			Tafetá			Tafetá			Tafetá		
Propriedade	Rigidez de Corte (B)			Força de Tracção de Deslizamento-média (C)			Força de Tracção de Deslizamento-média (C)			Força de Tracção de Deslizamento-diagonal (C)		
Factor de Conversão	4,83			3,84			3,73					
Formula do CS	$\frac{24,1603 - 232,0252 * B}{\text{Factor de Conversão}}$			$\frac{9,2031 - 0,6843 * \text{FTD media (C)}}{\text{Factor de Conversão}}$			$\frac{18,6455 - 0,6603 * \text{FTD diagonal (C)}}{\text{Factor de Conversão}}$					
COD TECIDOS	B	VS Calculado	Esc. Convertida	FTDmedia(C)	VS Calculado	Esc. Convertida	FTDdiagonal(C)	VS Calculado	Esc. Convertida	FTDdiagonal(C)	VS Calculado	Esc. Convertida
21	0,043	14,28	3,0	5,62	15,36	4,0	5,45	15,05	4,0	5,45	15,05	4,0
22	0,043	14,14	2,9	12,92	10,36	2,7	13,25	9,90	2,7	13,25	9,90	2,7
31	0,046	13,58	2,8	10,84	11,79	3,1	10,30	11,85	3,1	10,30	11,85	3,2
32	0,049	12,73	2,6	10,64	11,92	3,1	10,06	12,00	3,1	10,06	12,00	3,2
41	0,059	10,47	2,2	11,18	11,55	3,0	10,54	11,69	3,0	10,54	11,69	3,1
42	0,060	10,33	2,1	14,05	9,59	2,5	14,04	9,38	2,5	14,04	9,38	2,5
51	0,065	9,06	1,9	12,46	10,68	2,8	11,79	10,86	2,8	11,79	10,86	2,9
52	0,070	7,85	1,6	12,78	10,46	2,7	12,03	10,70	2,7	12,03	10,70	2,9
61	0,088	3,84	0,8	23,01	3,46	0,9	23,11	3,38	0,9	23,11	3,38	0,9
62	0,088	3,73	0,8	21,00	4,83	1,3	20,36	5,20	1,3	20,36	5,20	1,4
Mini.	0,000	24,16	5,0	0,00	19,20	5,0	0,00	18,65	5,0	0,00	18,65	5,0

**Conversão de escala:**

Trata-se de uma correlação inversa em que quanto menor o valor da propriedade mecânica (B), maior o valor do Conforto Sensorial, no limite um valor de zero para B, obtém-se o valor máximo de CS que se fixou em 5.

Para se converte a escala, fez-se coincidir a ordenada na origem com o valor 5. Isto é conseguido dividindo a ordenada na origem por um número, cujo o quociente é 5. Esse dividendo encontrado, ao qual se chamou Factor de Conversão, foi aplicado à equação linear da propriedade.